

# Zeichnungen und Karten

Objektyp: **Appendix**

Zeitschrift: **Boissiera : mémoires de botanique systématique**

Band (Jahr): **21 (1972)**

PDF erstellt am: **27.05.2024**

## **Nutzungsbedingungen**

Die ETH-Bibliothek ist Anbieterin der digitalisierten Zeitschriften. Sie besitzt keine Urheberrechte an den Inhalten der Zeitschriften. Die Rechte liegen in der Regel bei den Herausgebern. Die auf der Plattform e-periodica veröffentlichten Dokumente stehen für nicht-kommerzielle Zwecke in Lehre und Forschung sowie für die private Nutzung frei zur Verfügung. Einzelne Dateien oder Ausdrucke aus diesem Angebot können zusammen mit diesen Nutzungsbedingungen und den korrekten Herkunftsbezeichnungen weitergegeben werden. Das Veröffentlichen von Bildern in Print- und Online-Publikationen ist nur mit vorheriger Genehmigung der Rechteinhaber erlaubt. Die systematische Speicherung von Teilen des elektronischen Angebots auf anderen Servern bedarf ebenfalls des schriftlichen Einverständnisses der Rechteinhaber.

## **Haftungsausschluss**

Alle Angaben erfolgen ohne Gewähr für Vollständigkeit oder Richtigkeit. Es wird keine Haftung übernommen für Schäden durch die Verwendung von Informationen aus diesem Online-Angebot oder durch das Fehlen von Informationen. Dies gilt auch für Inhalte Dritter, die über dieses Angebot zugänglich sind.

VII. ZEICHNUNGEN UND KARTEN

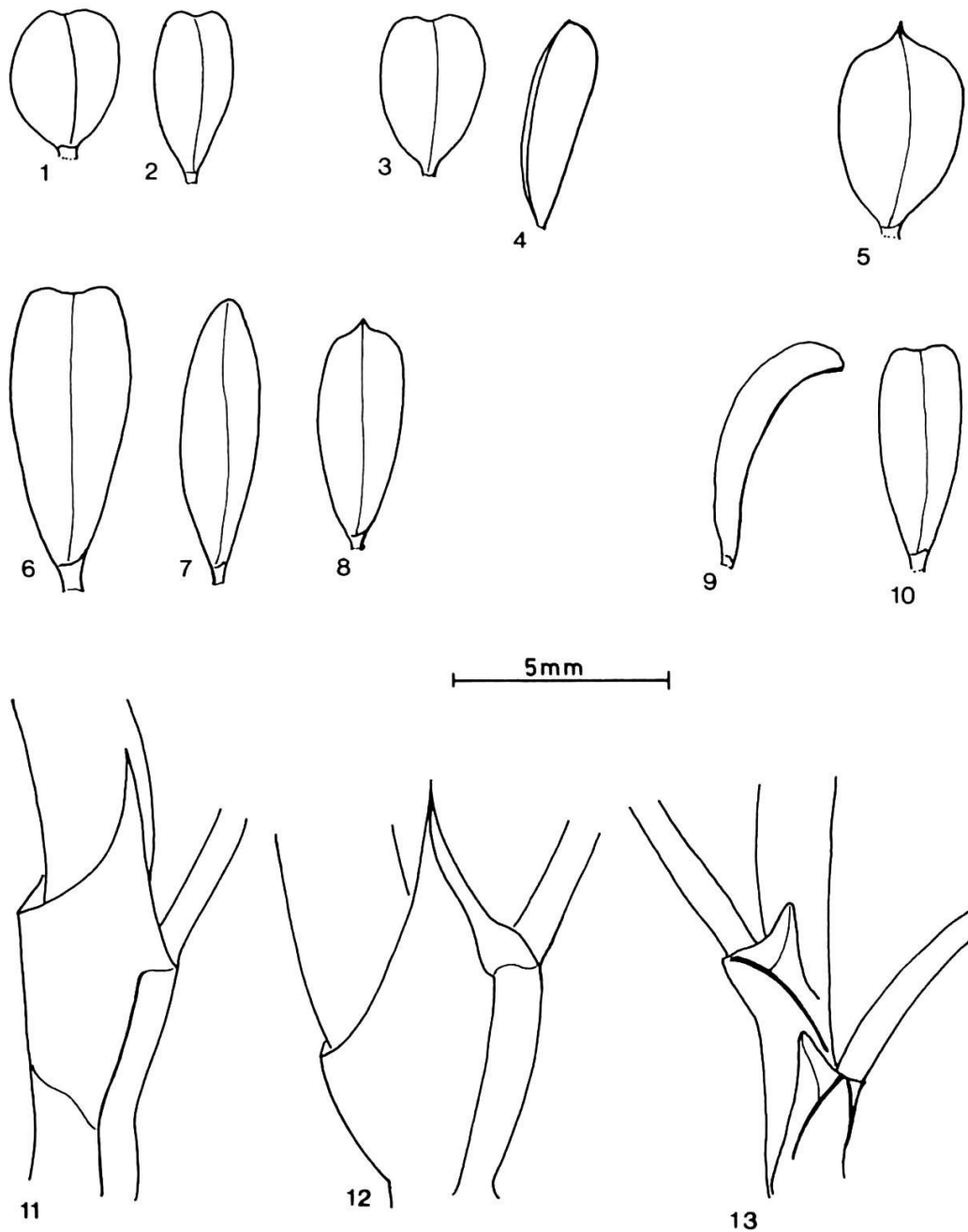


Fig. 1-10. — Blättchenformen  
1-2, *A. hemsleyi* (Repp s.n.); 3-4, *A. schistocalyx* (Schmid 6259); 5, *A. ovigerus* (Field 13197);  
6-8, *A. stenostegius* (Strauss s.n.); 9-10, *A. horridus* (9, Koelz 18301; 10, Aucher-Eloy 1280).  
Fig. 11-13. — Nebenblattformen  
11-12, *A. horridus* (Kotschy 474); 13, *A. schistocalyx* (Aitch. 666).



Fig. 14-20. — Brakteenformen

14, *A. schistocalyx* (Bornm. 3718); 15, *A. lycioides* (Alexeenko 758); 16-17, *A. horridus* (Kotschy 474); 18-19, *A. stenostegius* (Strauss s.n.); 20, *A. ovigerus* (Field 13197).

Fig. 21-28. — Blütenanalysen

21, *A. ovigerus* (Field 13197); 22-23, *A. horridus* (22, Aucher-Eloy 1280; 23, Kotschy 474); 24, *A. stenostegius* (Strauss, s.n.); 25, *A. hemsleyi* (Lace s.n.); 26, *A. lycioides* (Bode s.n.); 27-28, *A. schistocalyx* (27, Bunge, inter Nischapur et Mesched; 28, Schmid 6260).

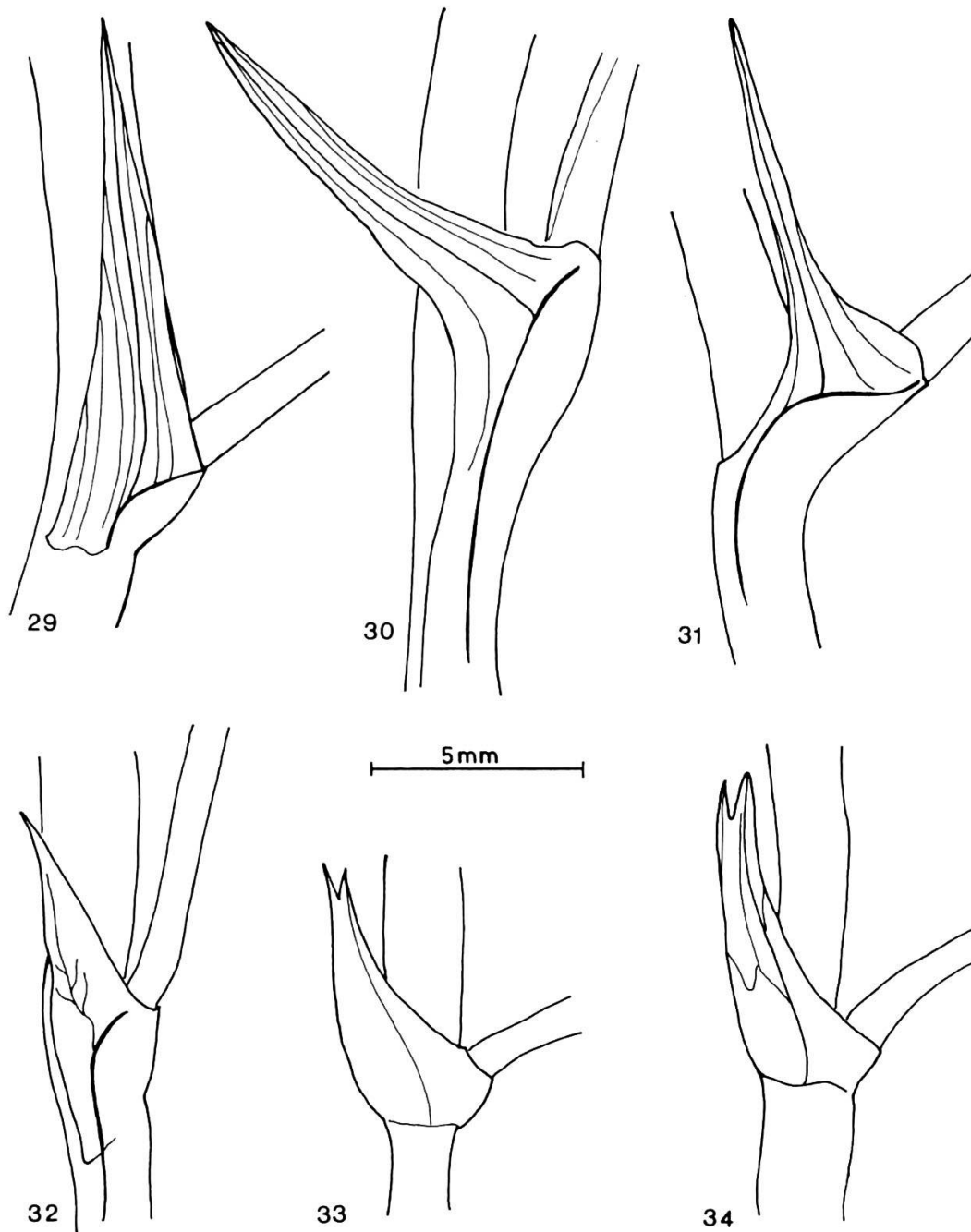


Fig. 29-34. — Nebenblattformen  
29-30, *A. zanskarensis* (29, Thomson, Zanskar; 30, Thomson, Tibet); 31, *A. bicuspis* (Winterbottom 686); 32, *A. grahamianus* (Lobbichler 27); 33-34, *A. psilocentros* (Rech. 27376).

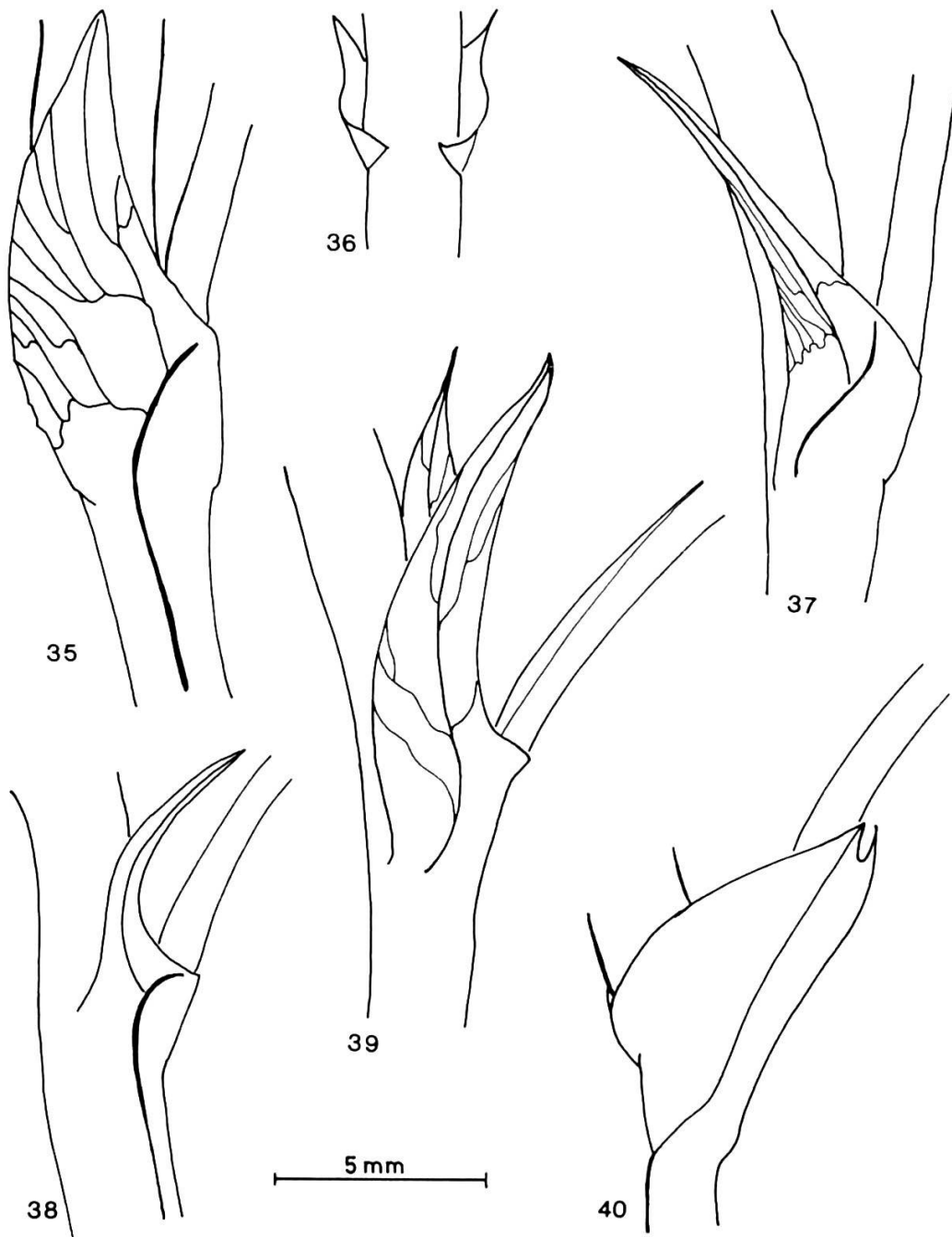


Fig. 35-40. — Nebenblattformen  
 35-36, *A. confertissimus* (35, Podlech 16321; 36, Breckle A 3079); 37-38, *A. lasiosemius*  
 (37, Rech. 31415; 38, Rech. 18270); 39, *A. altimurensis* (Freitag 3232); 40, *A. bornmuelleranus*  
 (Varitzewa s.n.).

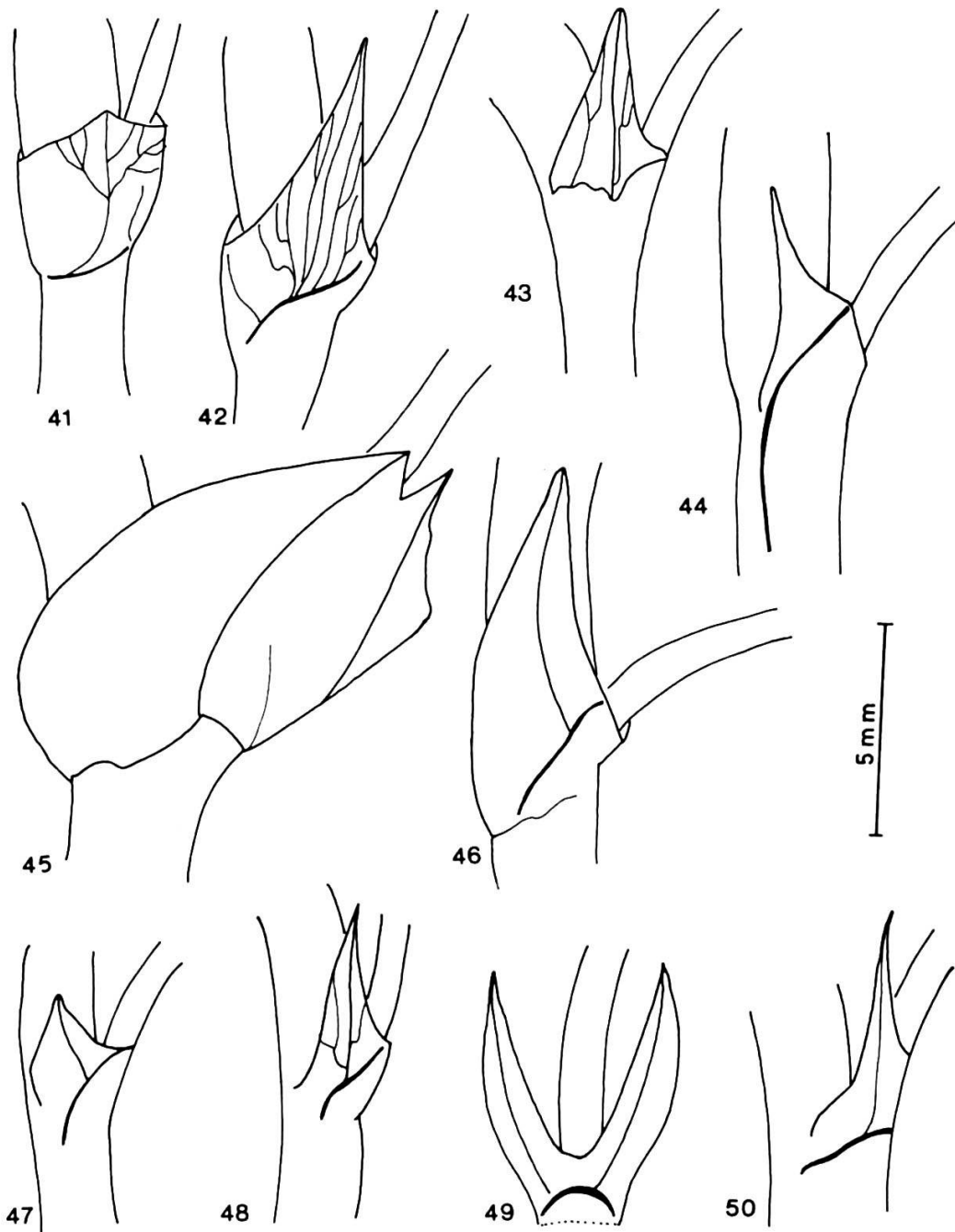


Fig. 41-50. — Nebenblattformen  
41-43, *A. infestus* (Rech. 37288 b); 44, *A. parwanicus* (Rech. 31366); 45-46, *A. nigrivestitus*  
(45, Podlech 11126; 46, Podlech 12501); 47-48, *A. psilacanthus* (47, Rech. 31848; 48, Rech.  
29895); 49-50, *A. leptus* (Rech. 17336).

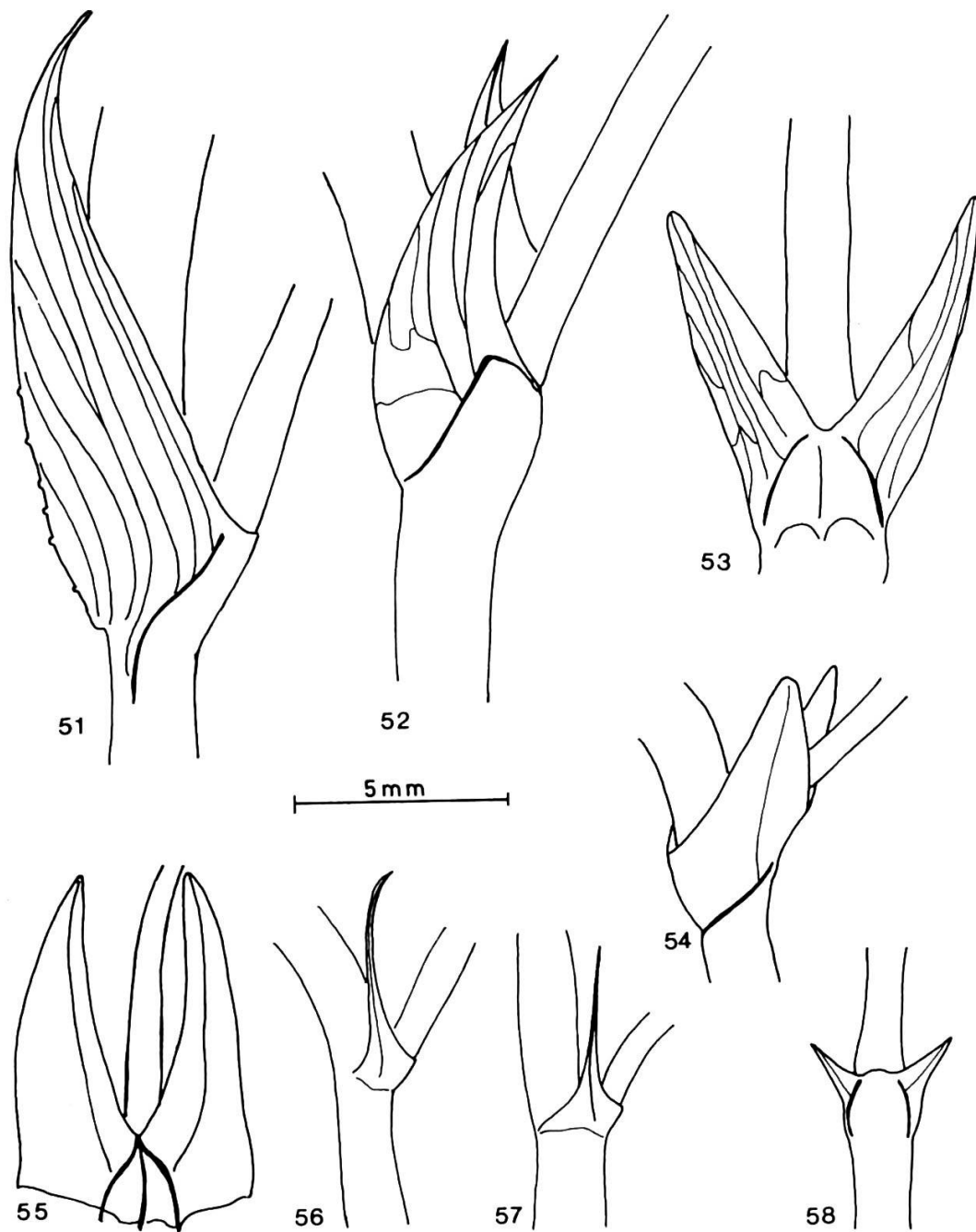


Fig. 51-58. — Nebenblattformen  
 51-52, *A. pseudopsilacanthus* (51, Rech. 35622; 52, Aitchison 47, 241); 53, *A. strigosostipulatus* (Freitag 2992); 54, *A. molestus* (Podlech 10791); 55, *A. hostilis* (Rech. 29336); 56-57, *A. brecklei* (Podlech 18387); 58, *A. ajfreidii* (Rech. 31805).

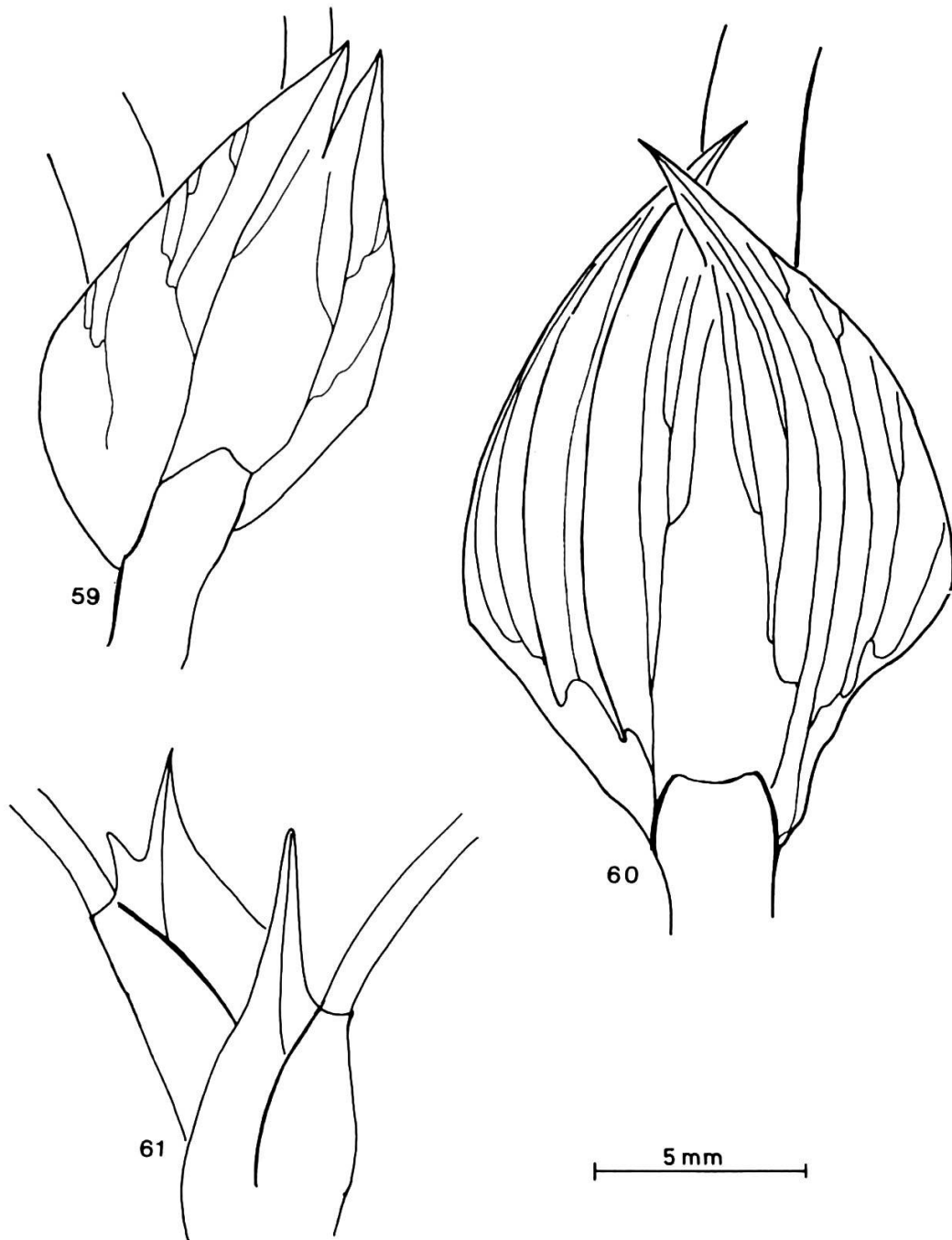


Fig. 59-61. — Nebenblattformen  
59, *A. melanochiton* (Breckle 584); 60, *A. podlechii* (Rech. 37531); 61, *A. aegacanthioides* (Lobbichler s.n.).

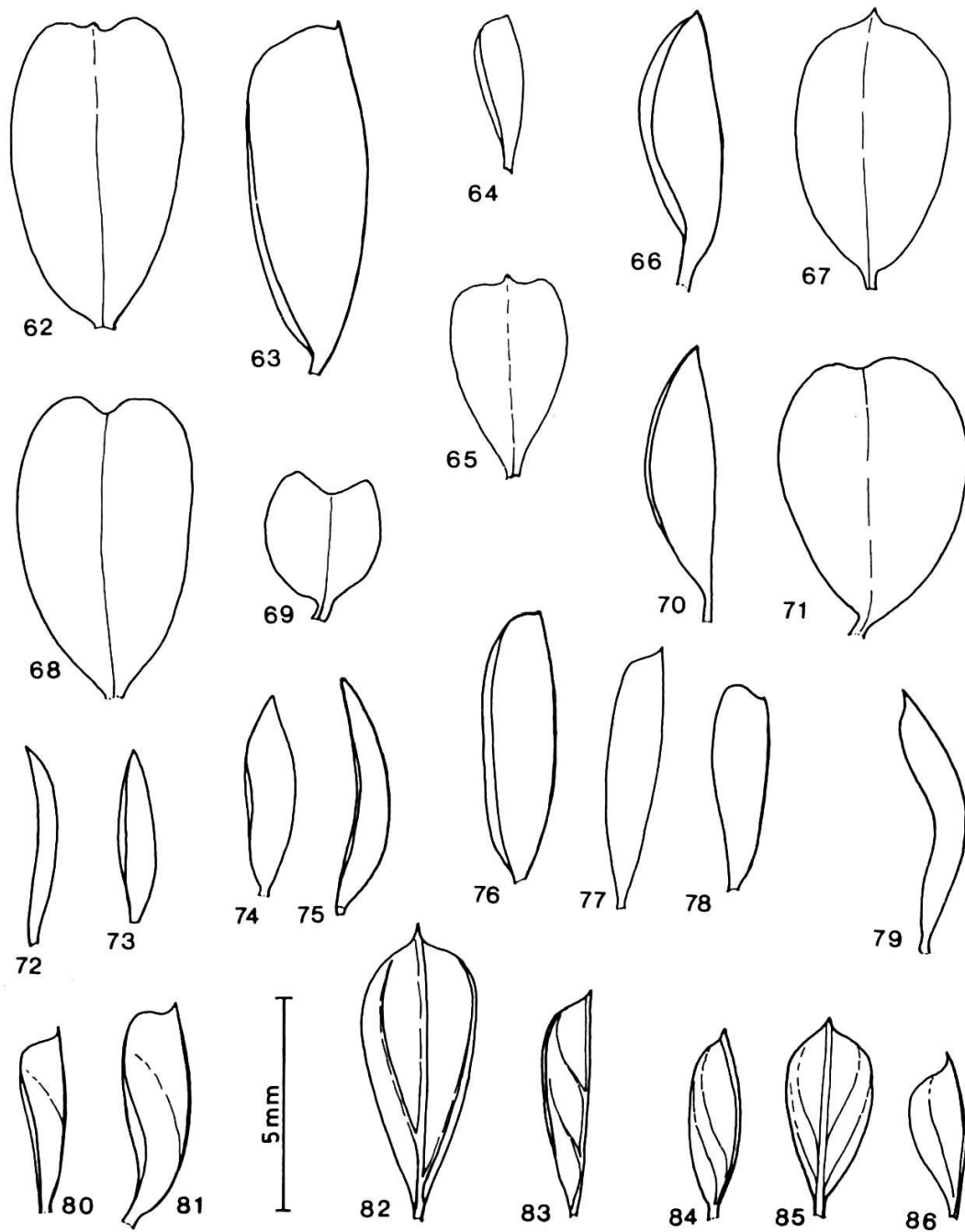


Fig. 62-86. — Blättchenformen

62-63, *A. zanskarensis* (Thomson s.n., Zanskar); 64-65, *A. polyacanthus* (Royle s.n.); 66-67, *A. bicuspis* (66, Drummond 23474; 67, Drummond 23473); 68-69, *A. grahamianus* (68, Lobbichler 27; 69, Thomson s.n., sub nomine *A. multiceps* Wall.); 70-71, *A. psilocentros* (70, Fleming 43; 71, Rech. 27376); 72-73, *A. antoninae* (Ovcinnikov & Aphanassjev 1330); 74-75, *A. aloisii* (Podlech 16443); 76-78, *A. confertissimus* (76, Podlech 13621; 77, Bowes Lyon 837; 78, Gilli 1564); 79, *A. parkeri* (Rech. 30844); 80-81, *A. gregarius* (Podlech 12336); 82-83, *A. pseudopsilacanthus* (82, Rech. 35622; 83, Aitch. 47, 241); 84-86, *A. discernendus* (Aitch. 451, 485).

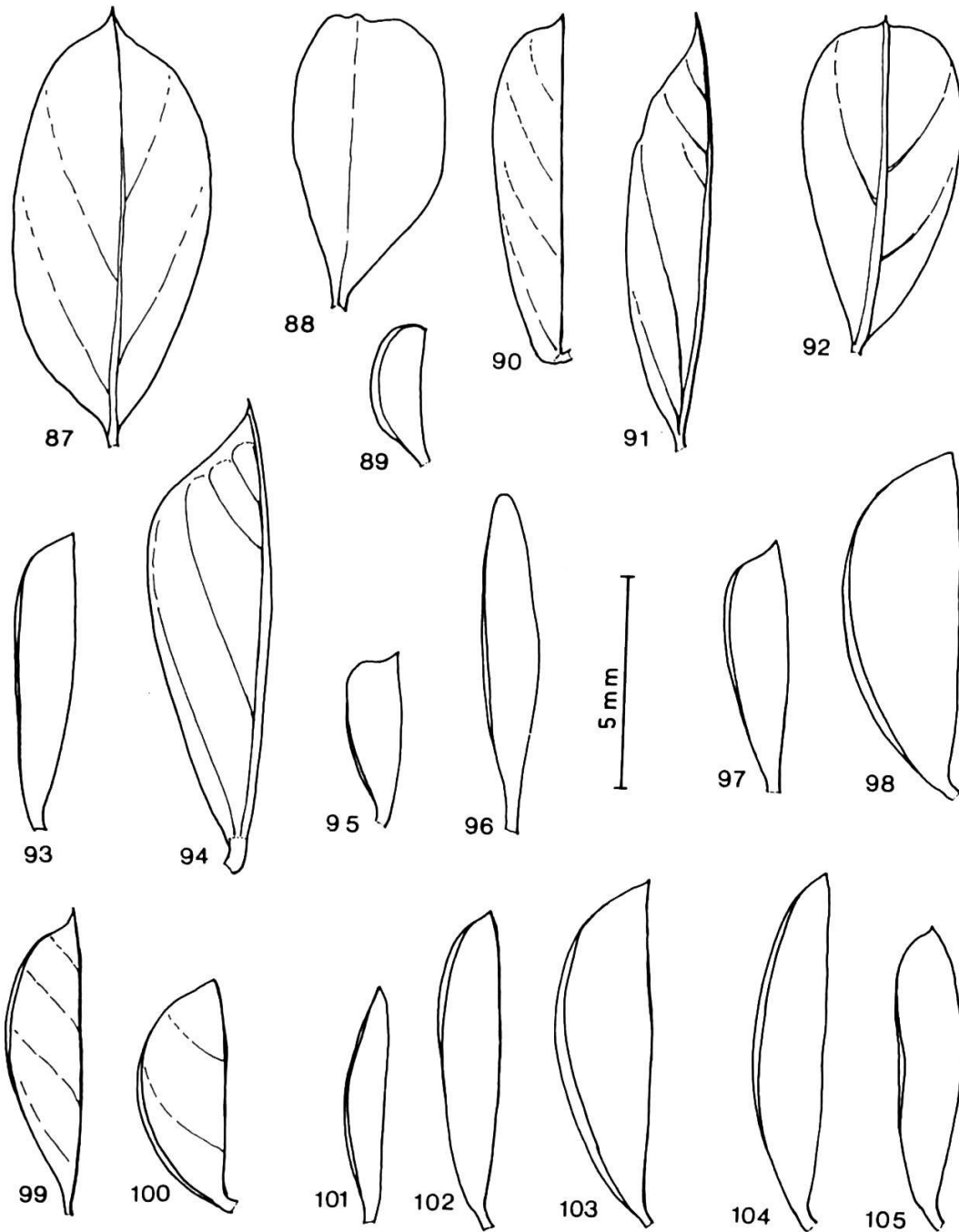


Fig. 87-105. — Blättchenformen

87, *A. endytanthus* (Rechinger 36947); 88-91, *A. lasiosemius* (88, Rech. 18270; 89, Lamond 2218; 90, Roemer 52; 91, Rech. 31415); 92, *A. roschanicus* (Ladigina 4042); 93, *A. phalacrophyton* (Podlech 15932); 94, *A. raphiodontus* (Rech. 17598); 95, *A. bornmuelleranus* (Varivtzewa s.n.); 96, *A. freitagii* (Freitag 3587); 97, *A. antheliophorus* (Rech. 37288 a); 98, *A. caroli-henrici* (Rech. 18890); 99-100, *A. infestus* (99, Rech. 37105; 100, Rech. 17719); 101-103, *A. franziskae* (101, Freitag 1400; 102-103, Rech. 17335); 104-105, *A. altimurensis* (Rech. 31888).

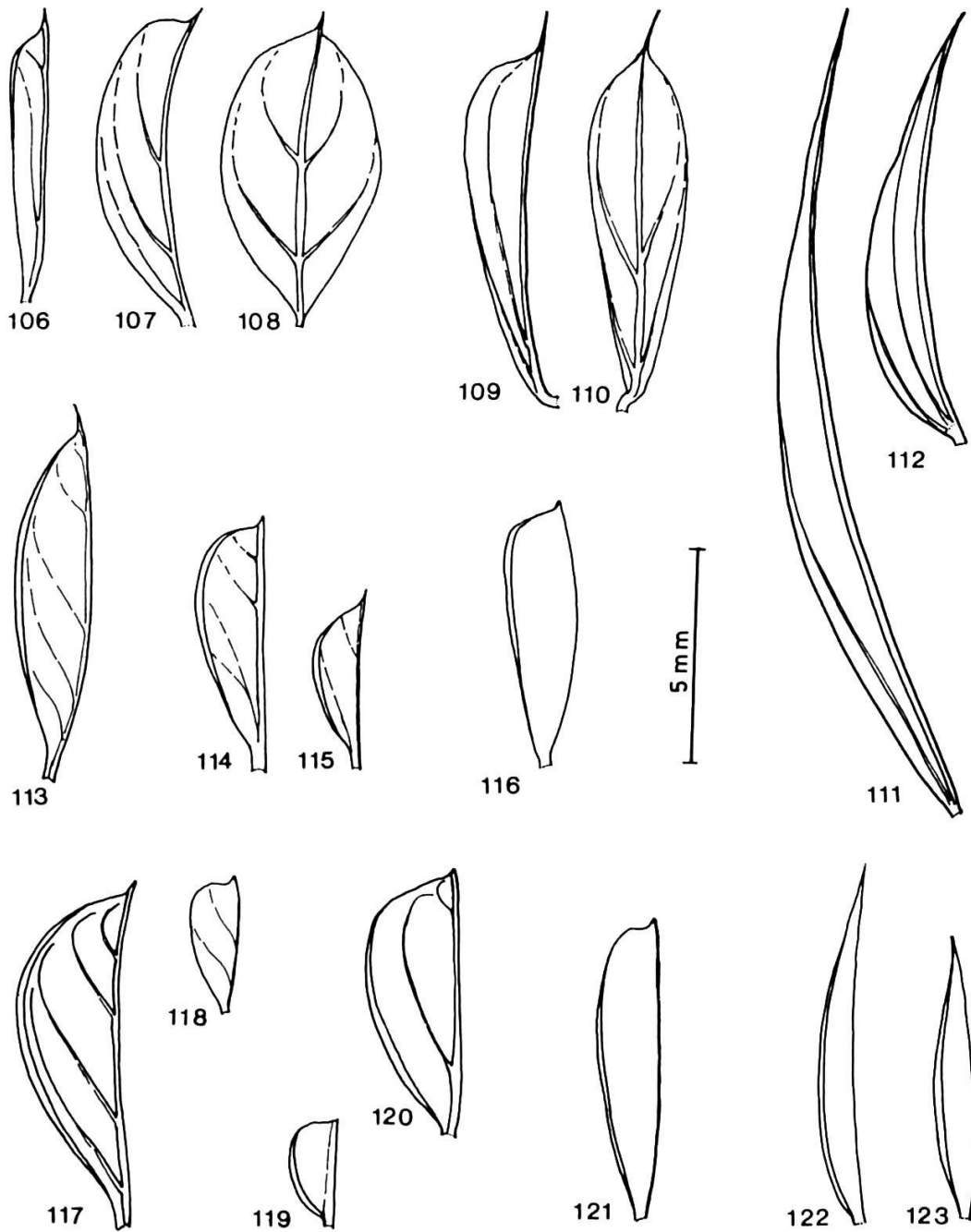


Fig. 106-123. — Blättchenformen

106-108, *A. nigrivestitus* (106, Podlech 12336; 107-108, Podlech 11126); 109-110, *A. melanochiton* (Breckle A 542); 111-112, *A. podlechii* (111, Breckle A 2207; 112, Breckle A 2696); 113, *A. parwanicus* (Rech. 31336); 114-115, *A. molestus* (Gilli 1549); 116, *A. nigrocalyx* (Pojarkova 552/306); 117, *A. strigosostipulatus* (Freitag 2993); 118, *A. hadroacanthus* (Gilli 1560); 119, *A. stenopterus* (Koelz 14096); 120, *A. leiosemius* (Hedge & Wendelbo 4225); 121, cf. *A. rubescens* (Varivtzewa & Renulova s.n.); 122-123, *A. ajfreidii* (122, Koelz 12001; 123, Freitag 1572).

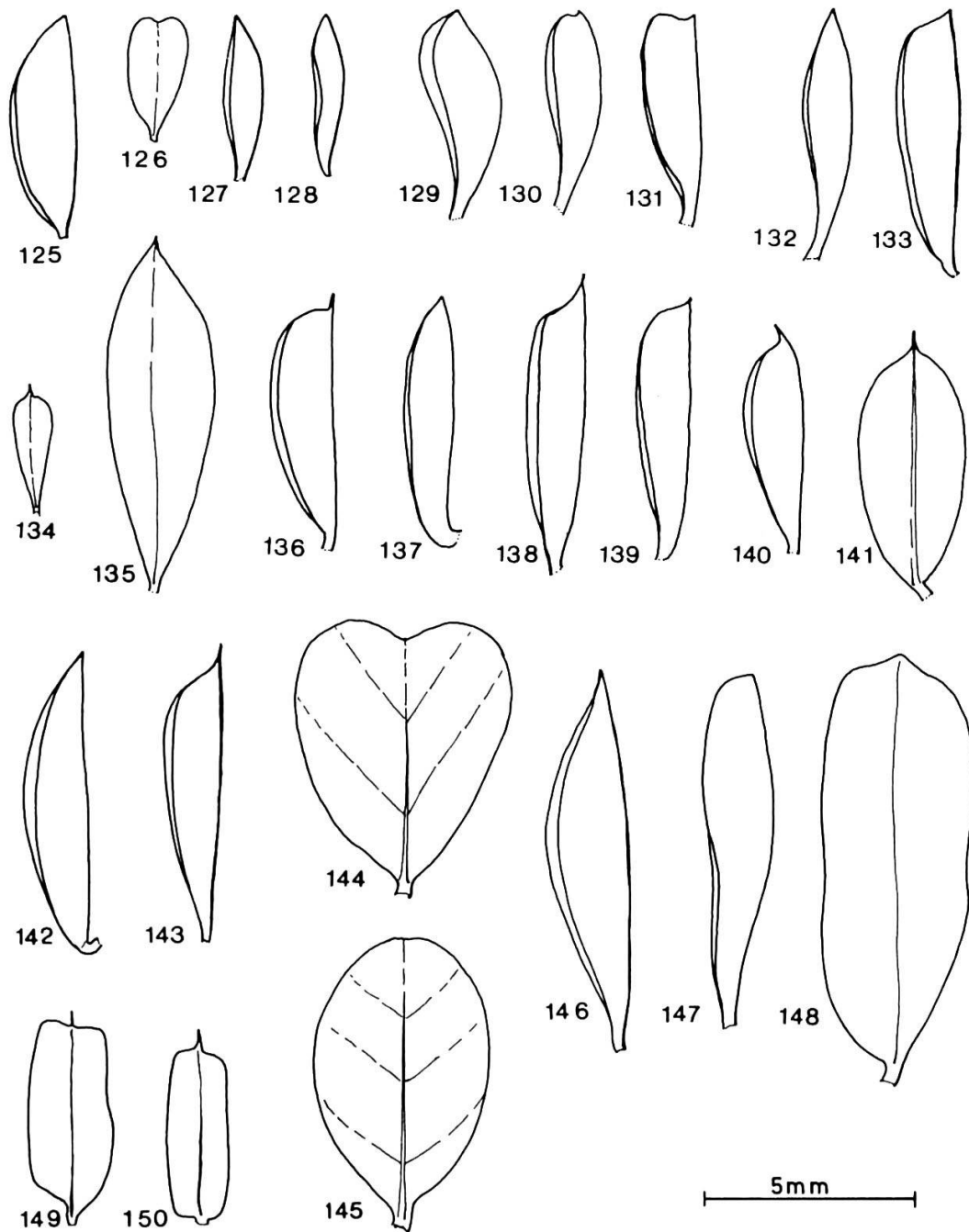


Fig. 125-150. — Blättchenformen

125-128, *A. psilacanthus* (125-126, Podlech 10187); 127-128, Rech. 31848). 129-131, *A. baghlanensis* (129-130, Podl. 11021; 131, Podl. 10986); 132-133, *A. hostilis* (132, Lace s.n.; 133, Rech. 29345); 134-141, *A. leptus* (134, Breckle A 102; 135, Podl. 10210; 137-139, Podl. 10910; 140-141, Rech. 17336); 142, *A. sharestanicus* (Rech. 36742); 143, *A. brecklei* (Podl. 16387); 144-145, *A. lamondiae* (Lamond 1062); 146, *A. dsharfi* (Grigorjew 46); 147-148, *A. wendelboi* (Hedge & Wendelbo 3404); 149-150, *A. aegacanthioides* (Lobbichler s.n.).

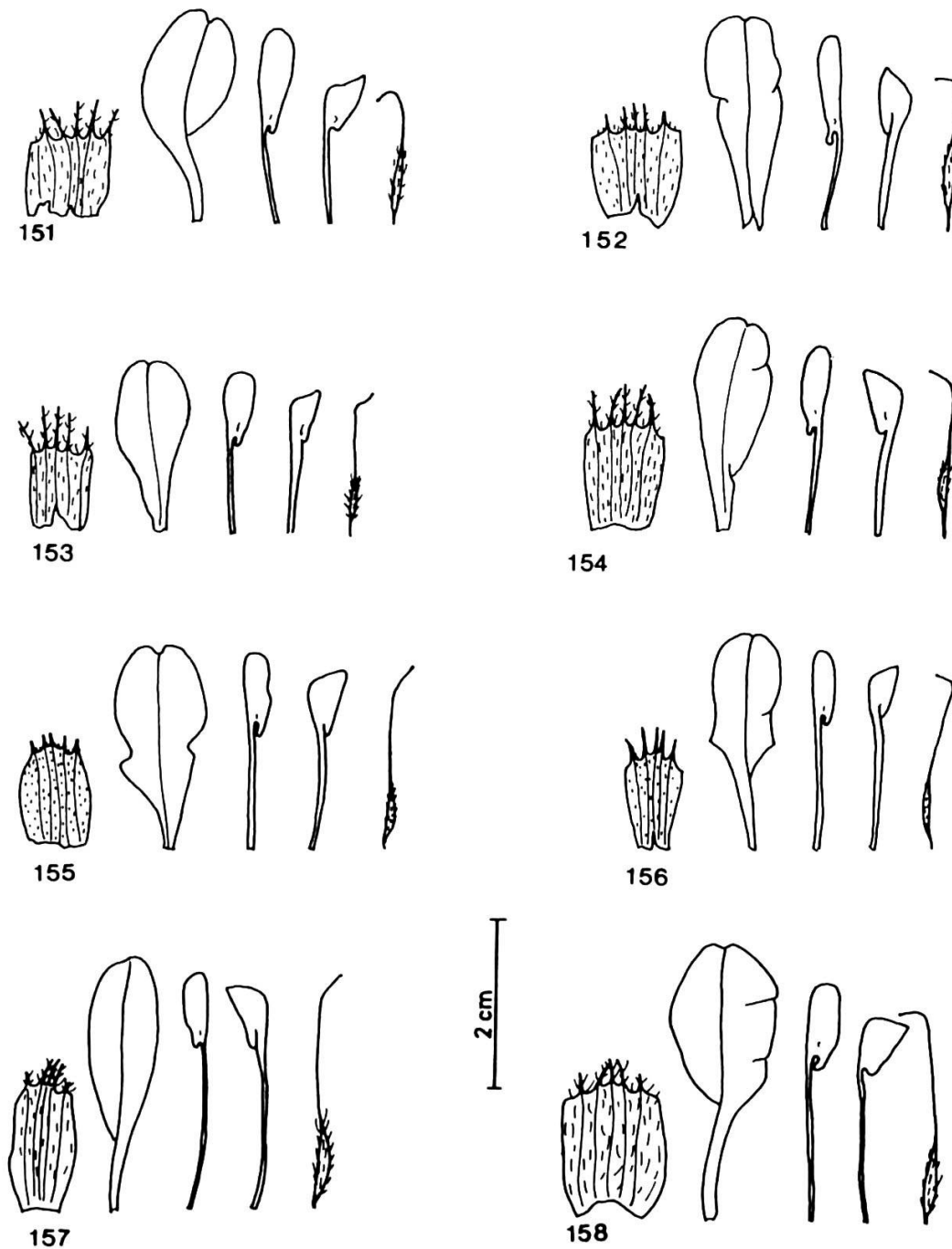


Fig. 151-158. — Blütenanalysen

151-152, *A. zanskarensis* (151, Zanskar, Thomson; 152, Webster & Nasir s.n.); 153-154, *A. bicuspis* (153, Winterbottom 686; 154, Schmid 1812); 155-156, *A. grahamianus* (155, Humme s.n.; 156, Thomson s.n., sub nomine *A. multiceps* Wall.); 157-158, *A. psilocentros* (157, Fleming 43; 158, Rech. 29751).

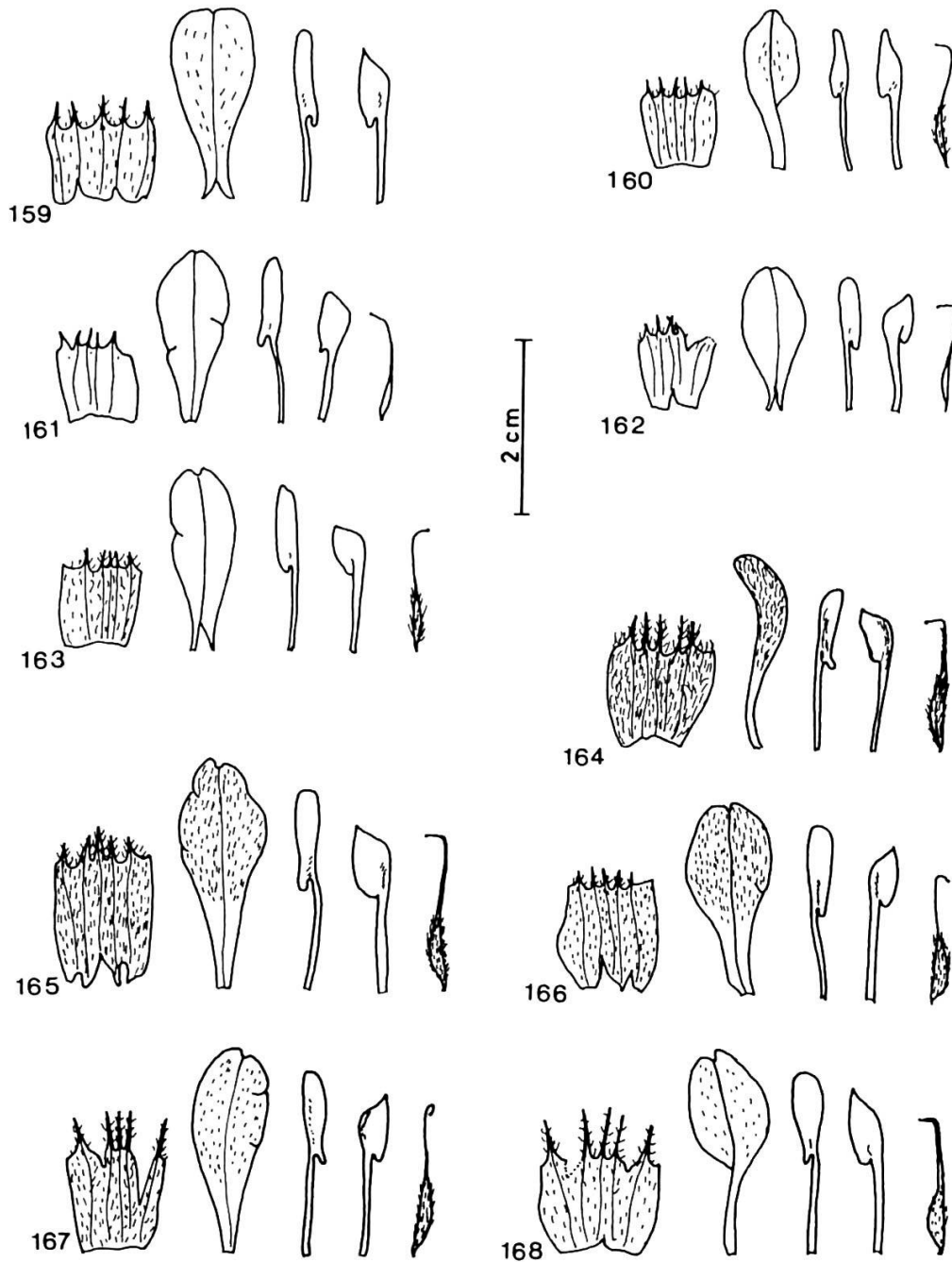


Fig. 159-168. — Blütenanalysen

159, *A. aloisii* (Podlech 16443); 160, *A. antoninae* (Ovc. & Aphan. 1347); 161-162, *A. confertissimus* (161, Breckle A 3453; 162, Bowes Lyon 685); 163, *A. parkeri* (Rech. 30844); 164, *A. endytanthus* (Hedge & Wendelbo 4189); 165, *A. roschanicus* (Ladigina 4042); 166-168, *A. lasiosemius* (166, Rech. 18270; 167, Roemer 52; 168, Rech. 31415).

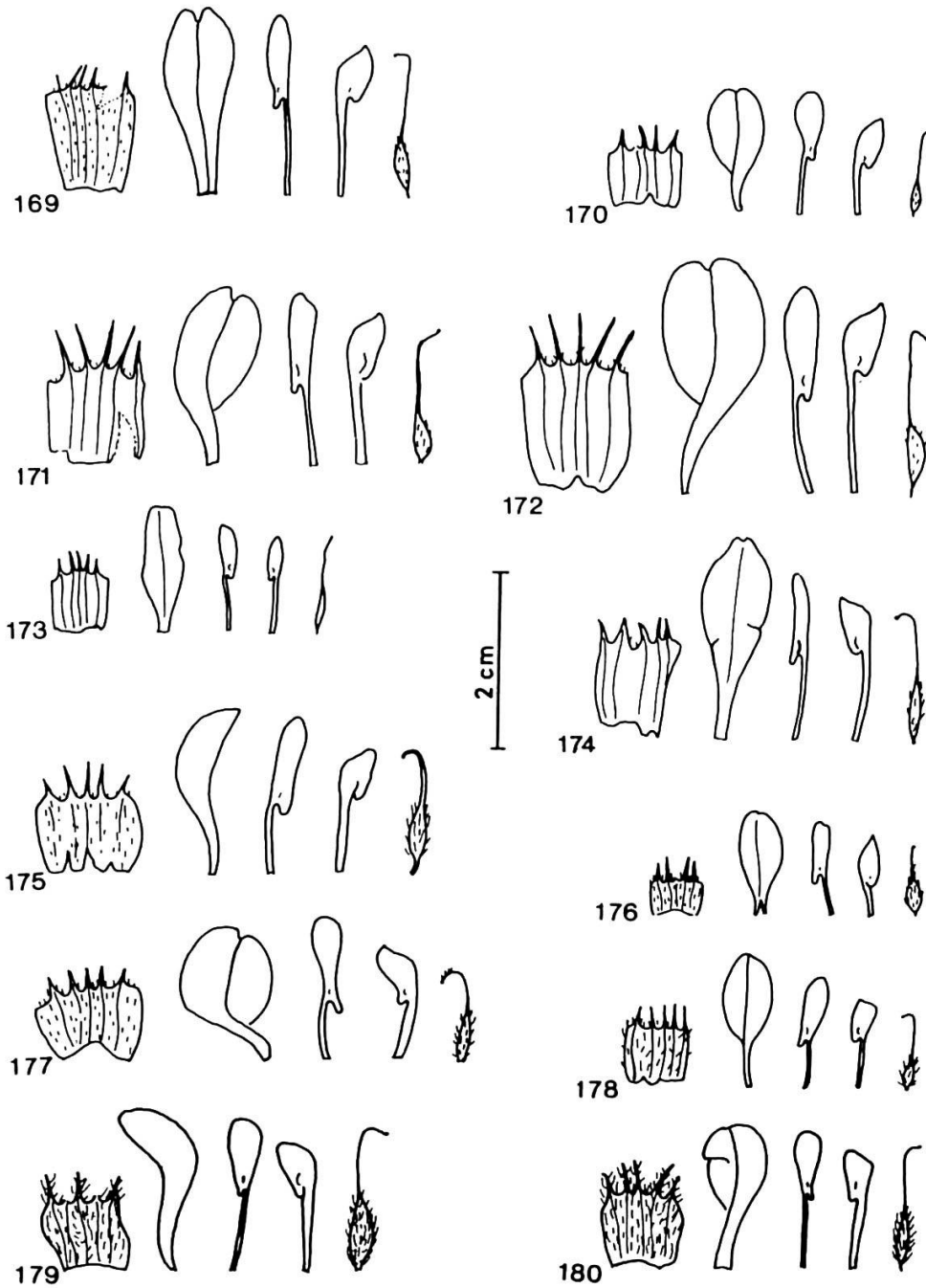


Fig. 169-180. — Blütenanalysen

169, *A. gregarius* (Podl. 12336); 170, *A. phalacrophyton* (Rech. 31416); 171-172, *A. raphiodontus* (171, Rech. 18112; 172, Rech. 17818); 173, *A. freitagii* (Freitag 3587); 174, *A. bornmuelleranus* (Varitzewa s.n.); 175, *A. altimurensis* (Rech. 31888); 176, *A. antheliophorus* (Rech. 37288 a); 177, *A. caroli-henrici* (Rech. 18890); 178, *A. franziskae* (Rech. 17588); 179-180, *A. infestus* (179, Rech. 17429; 180, Rech. 17719).

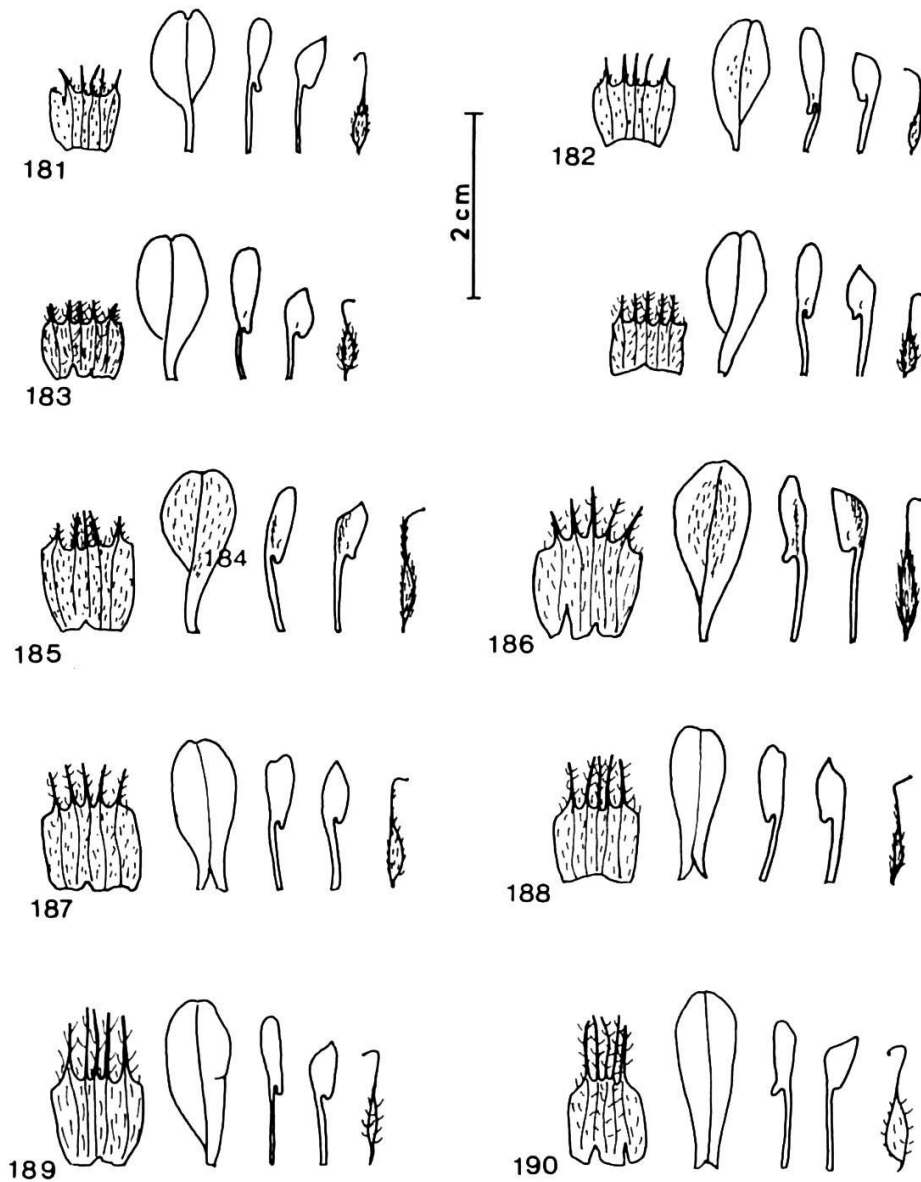


Fig. 181-190. — Blütenanalysen

181, *A. nigrocalyx* (Pojarkova & Varivtzewa 552/308); 182, *A. parwanicus* (Wendelbo 3009); 183-184, *A. molestus* (183, Podl. 19791; 184, Gilli 1598); 185-186, *A. nigrivestitus* (185, Wendelbo 5243; 186, Podl. 11126); 187-188, *A. melanochiton* (187, Rech. 37073; 188, Breckle A 584); 189-190, *A. podlechii* (189, Podl. 12211; 190, Breckle A 2207).

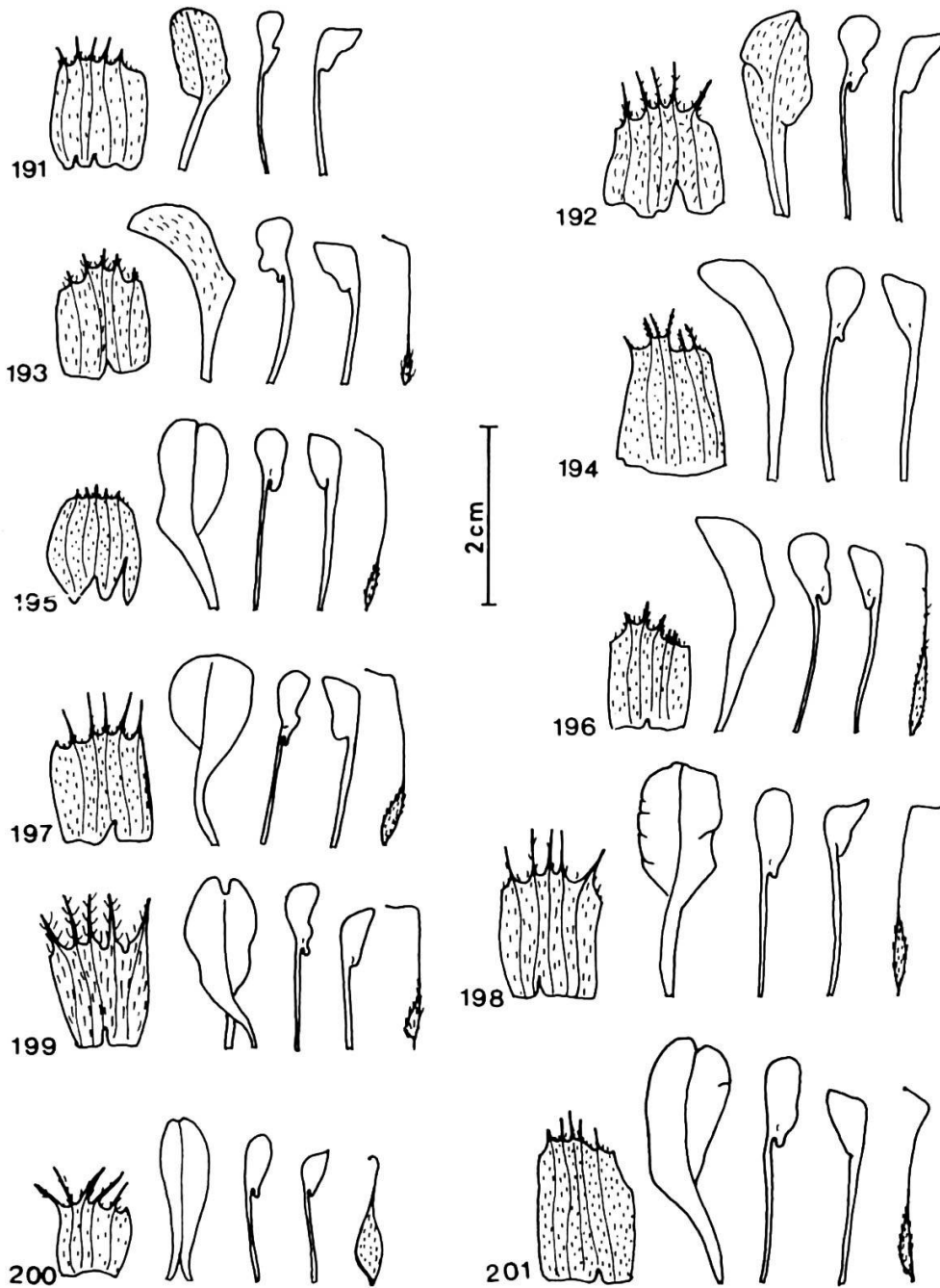


Fig. 191-201. — Blütenanalysen

191-192, *A. leptus* (191, Rech. 31260; 192, Podl. 10210); 193, *A. sharestanicus* (Rech. 36742); 194, *A. wendelboi* (Hedge & Wendelbo 3404); 195-196, *A. psilacanthus* (195, Podl. 10187; 196, Kasy, s.n.); 197, *A. lamondiae* (Rech. 29051); 198, *A. dsharfi* (Grigorjew 46); 199, *A. hostilis* (Rech. 29366); 200, *A. brecklei* (Podl. 16387); 201, *A. baghlanensis* (Podl. 11021).

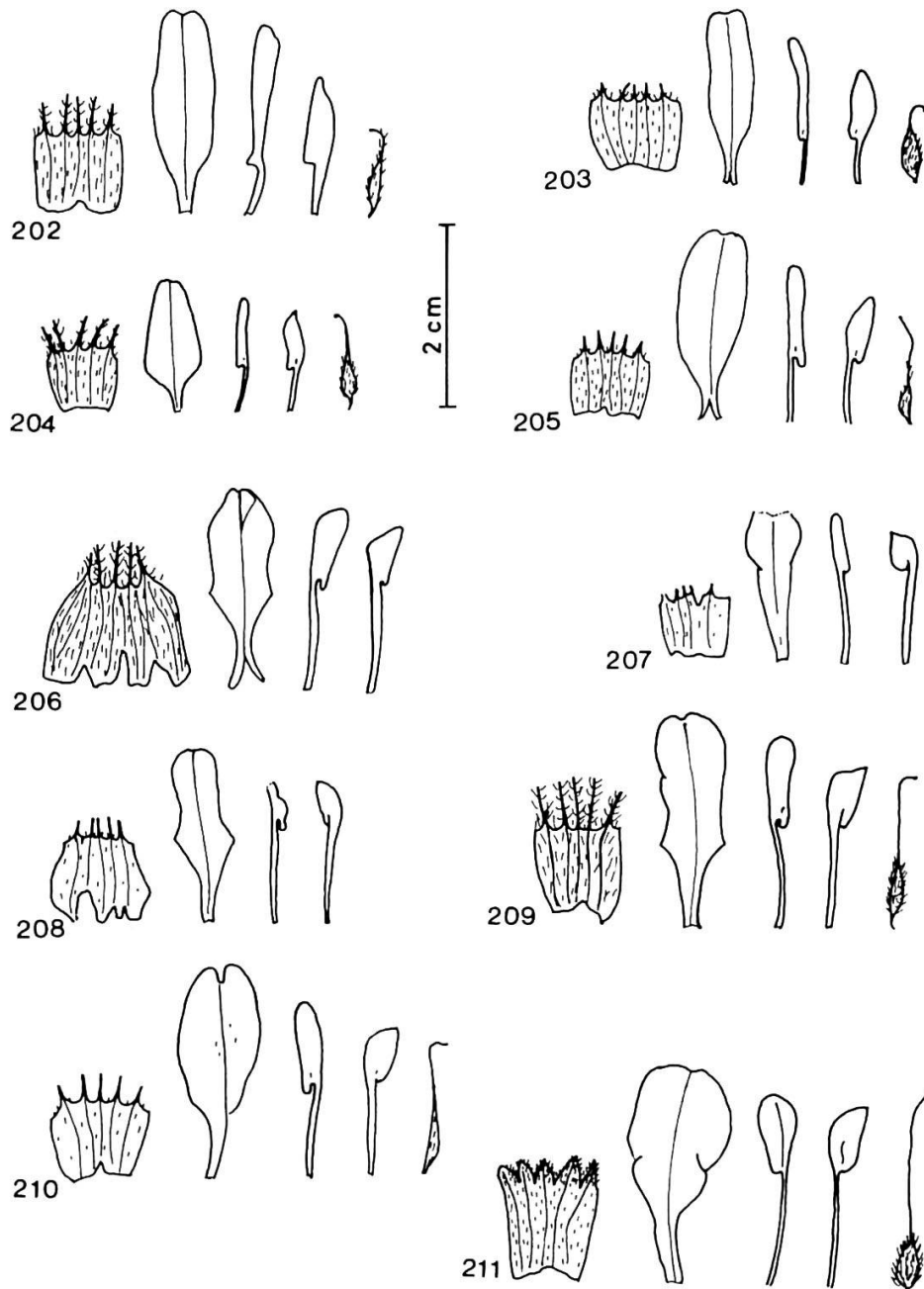


Fig. 202-211. — Blütenanalysen

202-203, *A. leiosemius* (202, Rech. 36264; 203, Popov & Vved. s.n.); 204-205, *A. ajfreidii* (204, Breckle A 2106; 205, Freitag 1480); 206, *A. strigosostipulatus* (Podl. 15928); 207, *A. hadroacanthus* (Gilli 1560); 208-209, *A. pseudopsilacanthus* (208, Aitch. 47, 241; 209, Rech. 35611); 210, *A. discernendus* (Aitch. 451/485); 211, *A. aegacanthioides* (Lobbichler s.n.).

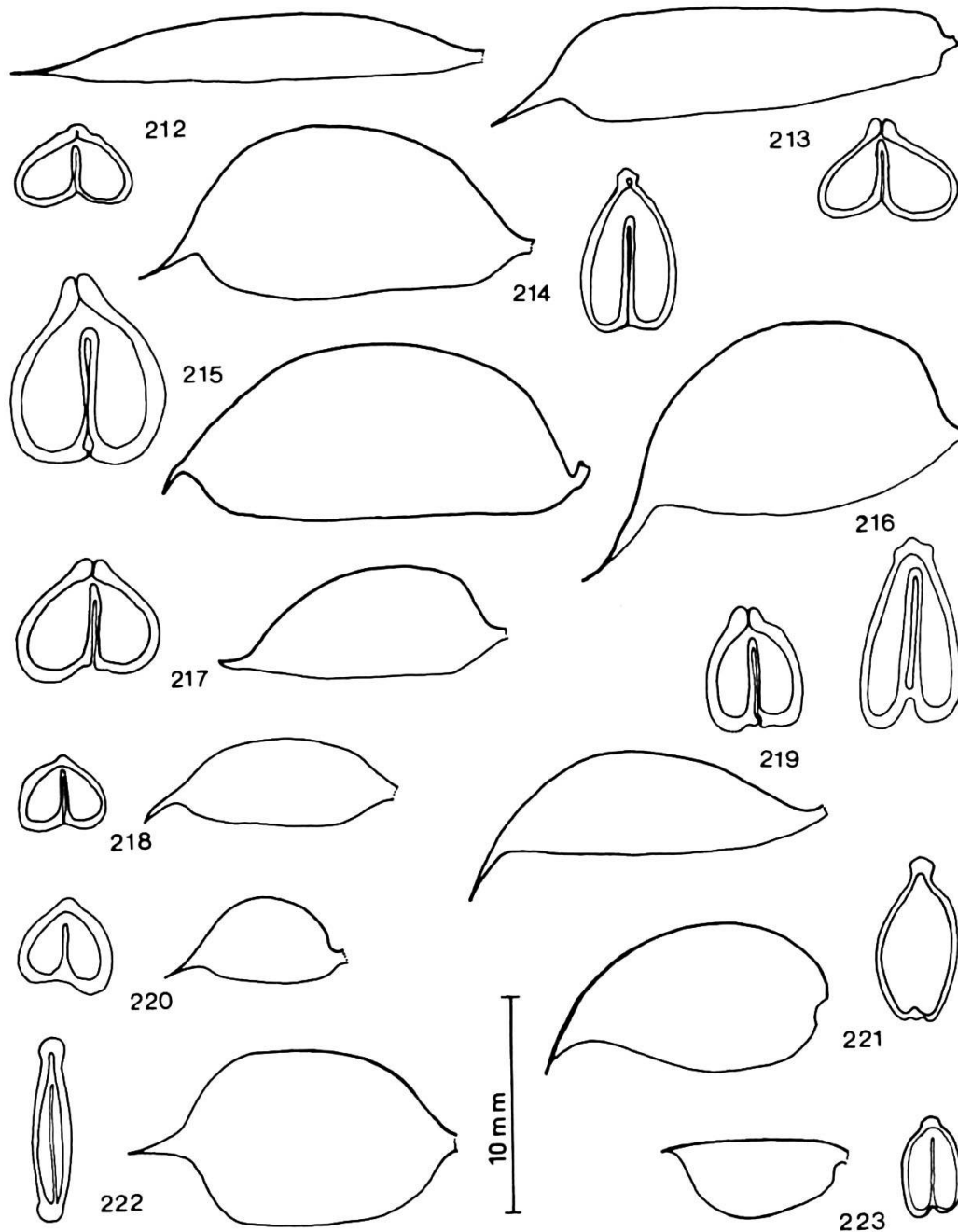


Fig. 212-223. — Frucht-Umrisse und -Querschnitte  
 212, *A. zanskarensis* (Webster & Nasir s.n.); 213, *A. grahamianus* (Lamond 1757); 214, *A. psilocentros* (Rech. 27430); 215, *A. raphiodontus* (Rech. 17598); 216, *A. caroli-henrici* (Rech. 18890); 217, *A. strigosostipulatus* (Podlech 15928); 218, *A. infestus* (Köie 3223); 219, *A. molestus* (Freitag 5677); 220, *A. franziskae* (Rech. 17588); 221, *A. ajfreidii* (Rech. 31894); 222, *A. leiosemius* (Wendelbo 4225); 223, *A. lycioides* (Alexeenko 753).

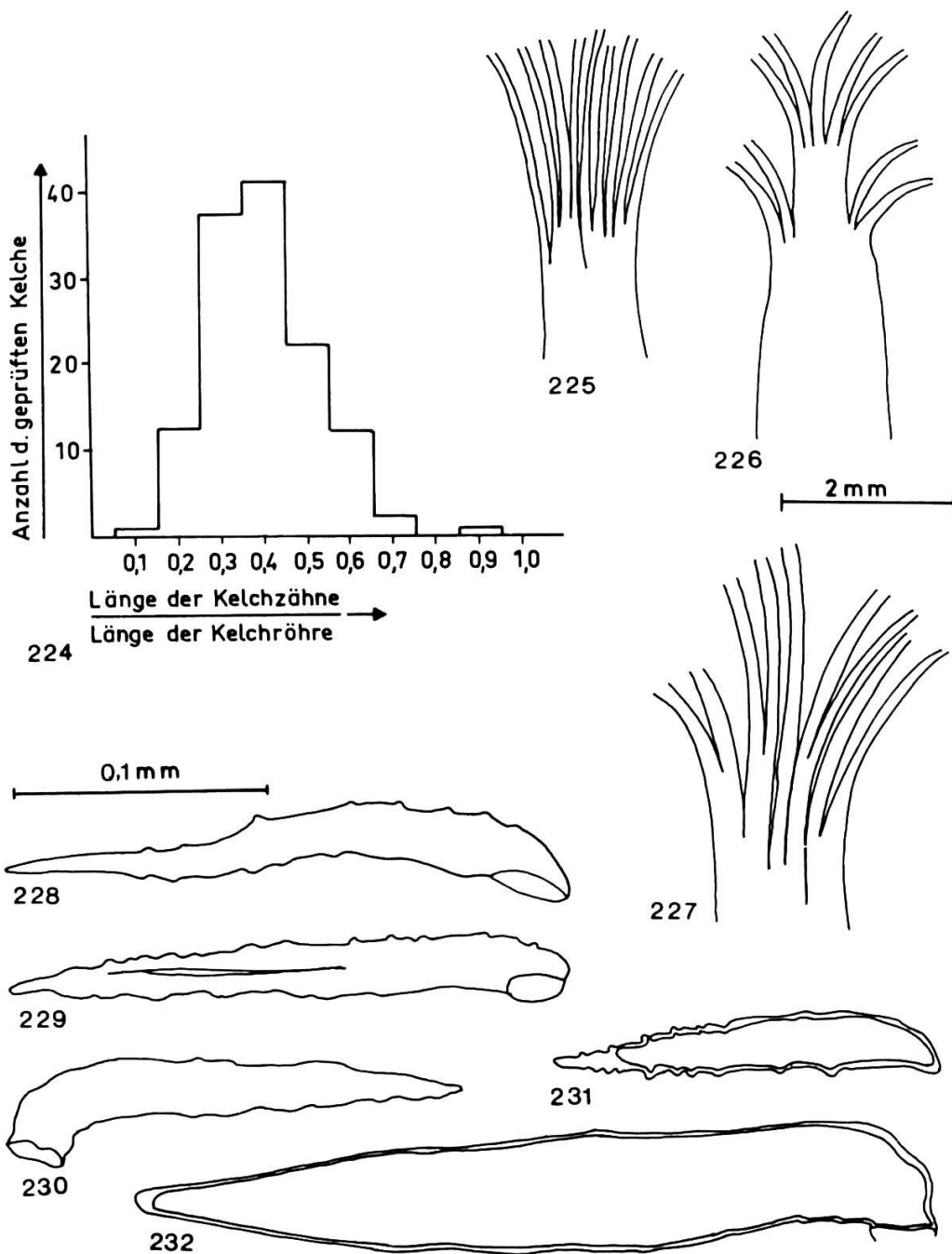


Fig. 224. — Verhältnis von Kelchröhrenlänge zu Kelchzahnlänge bei *A. lasiosemius*.

Fig. 225-227. — Typen von Staubfadenröhren

225, *A. hemsleyi* (Lace s.n.): Staubfadenröhre mit unregelmässigem Ende; 226, *A. lasiosemius* (Rechinger 35438): Staubfadenröhre mit besonders ausgeprägt zweistufigem Ende; 227, *A. melanochiton* (Breckle A 584): 3. und 4. sowie 6. und 7. Filament sind untereinander höher verwachsen als mit den benachbarten Filamenten.

Fig. 228-230. — Haare der Sektion *Aegacantha*

228-229, *A. lasiosemius*; 230, *A. psilacanthus*.

Fig. 231-232. — Haare der Sektion *Acanthoplace*

231, *A. lycioides*; 232, *A. stenostegius*.

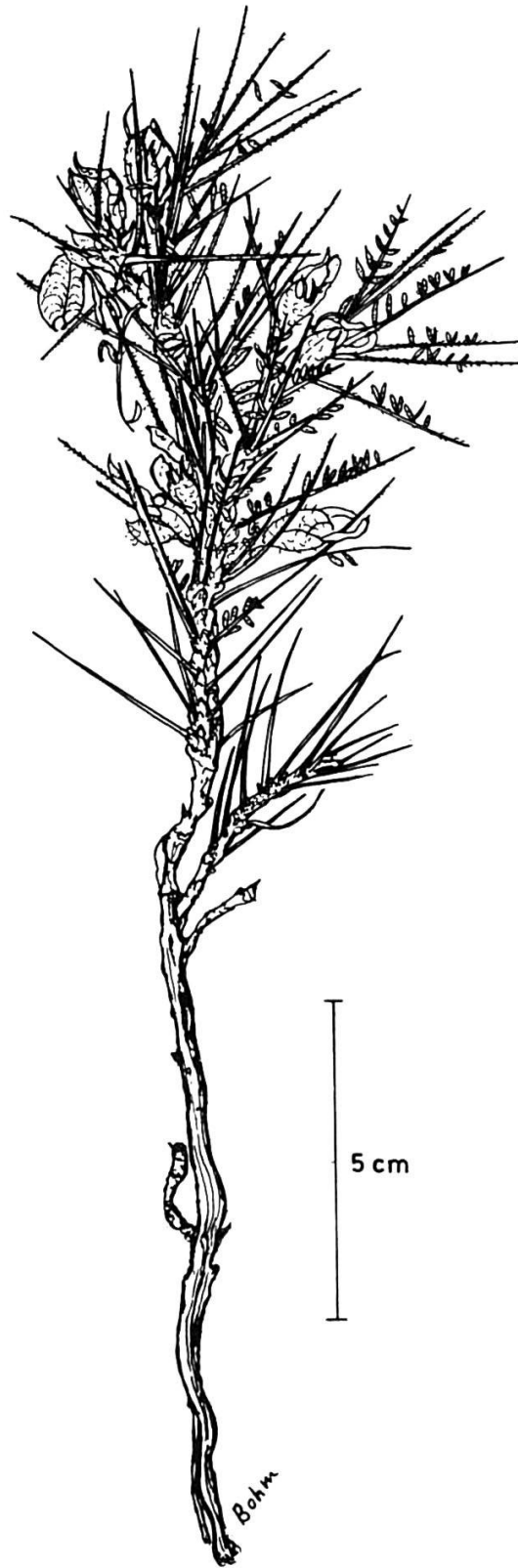


Fig. 233. — *A. aloisii* Deml (Holotypus; Podlech 16443).



Fig. 234. — *A. altimurensis* Deml (Holotypus; Rechinger 31888).

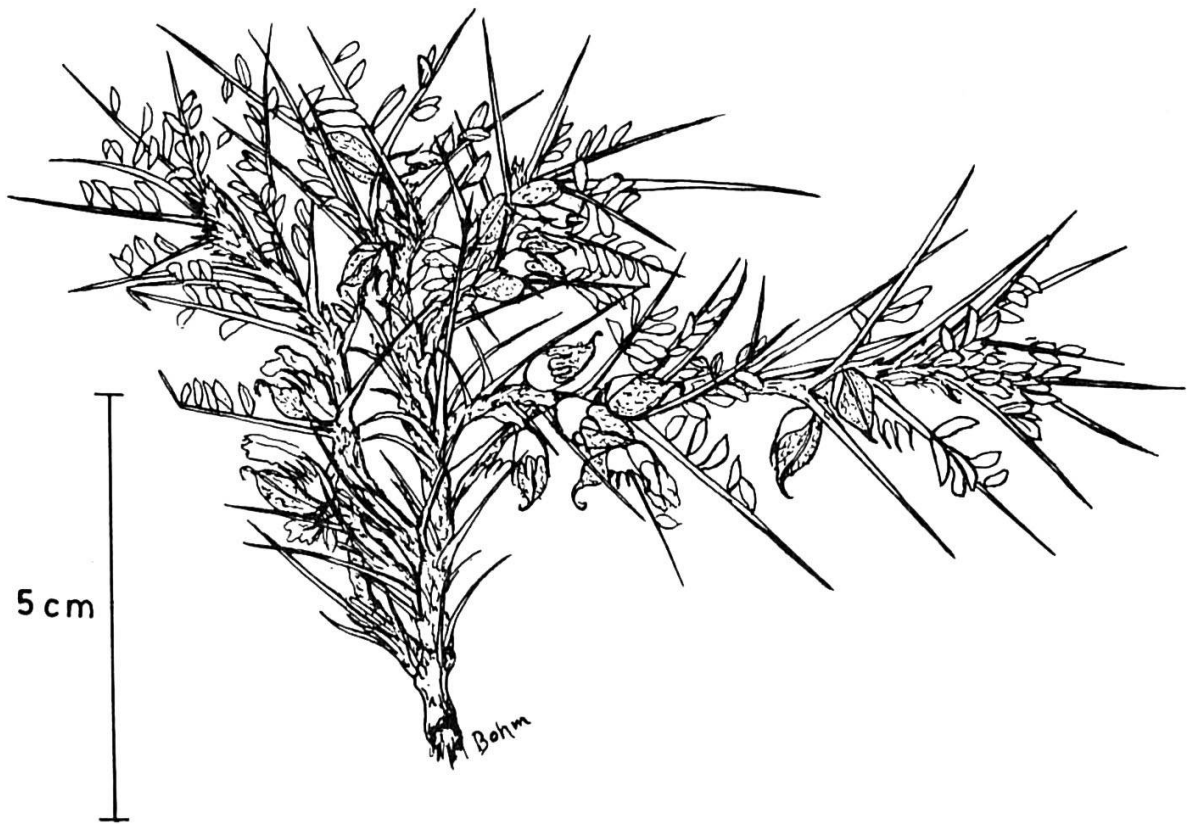


Fig. 235. — *A. antheliophorus* Deml (Holotypus; Rechinger 37288 a).

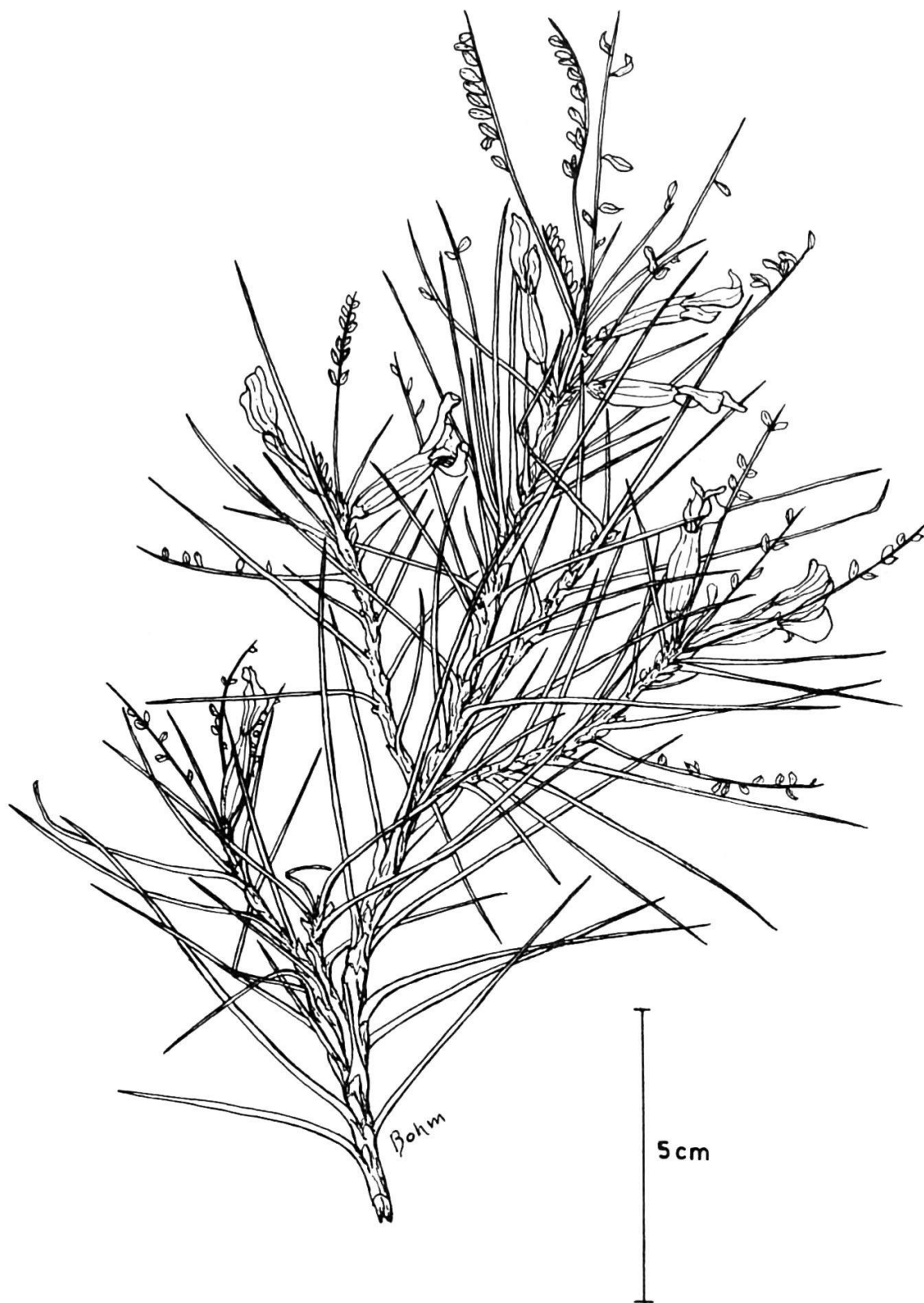


Fig. 236. — *A. baghlanensis* Deml (Holotypus; Podlech 11021).



Fig. 237. — *A. brecklei* Deml (Breckle A 3515).



Fig. 238. — *A. caroli-henrici* Deml (Holotypus; Rechinger 18890).

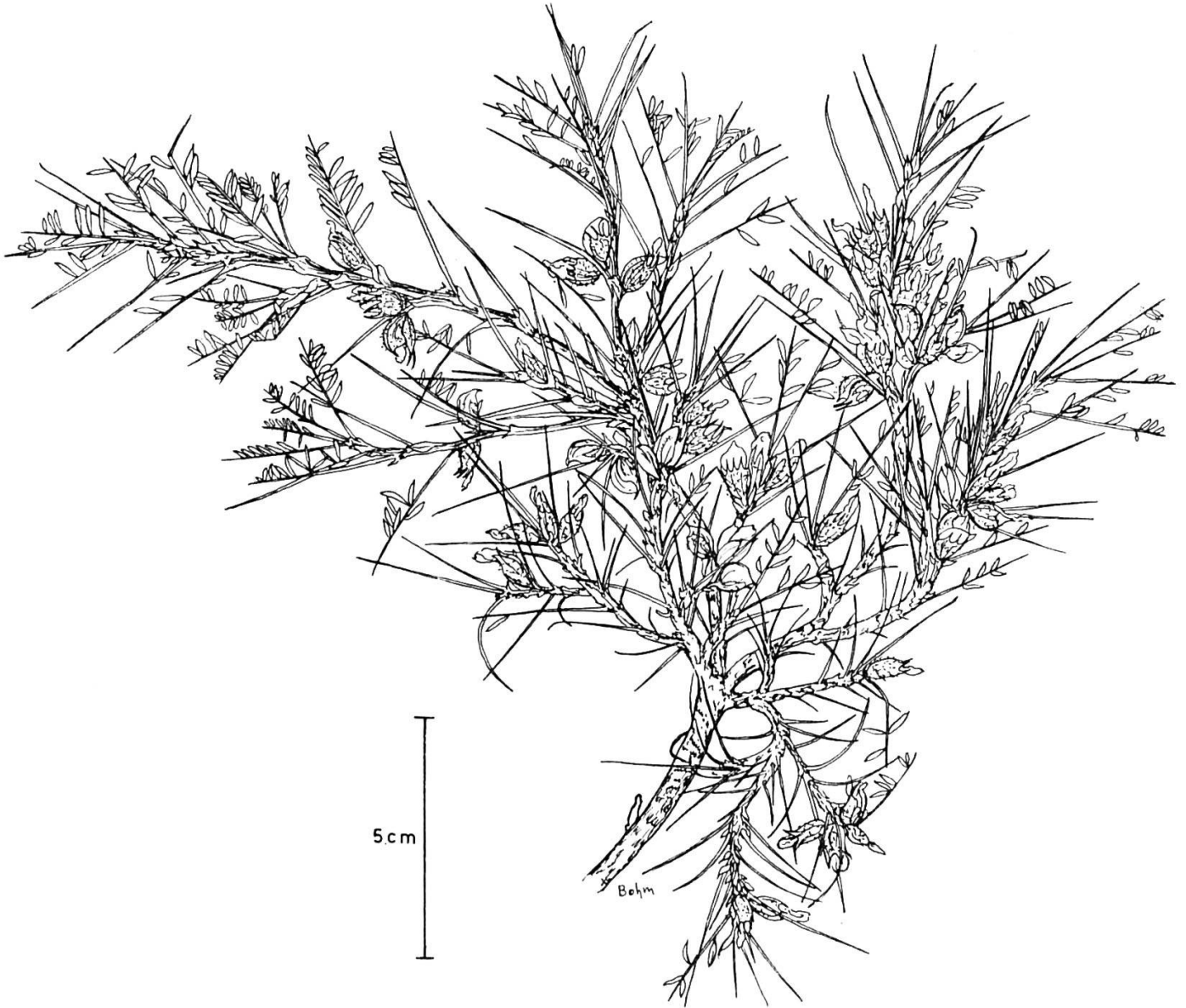


Fig. 239. — *A. franziskae* Deml (Holotypus; Rechinger 17588).

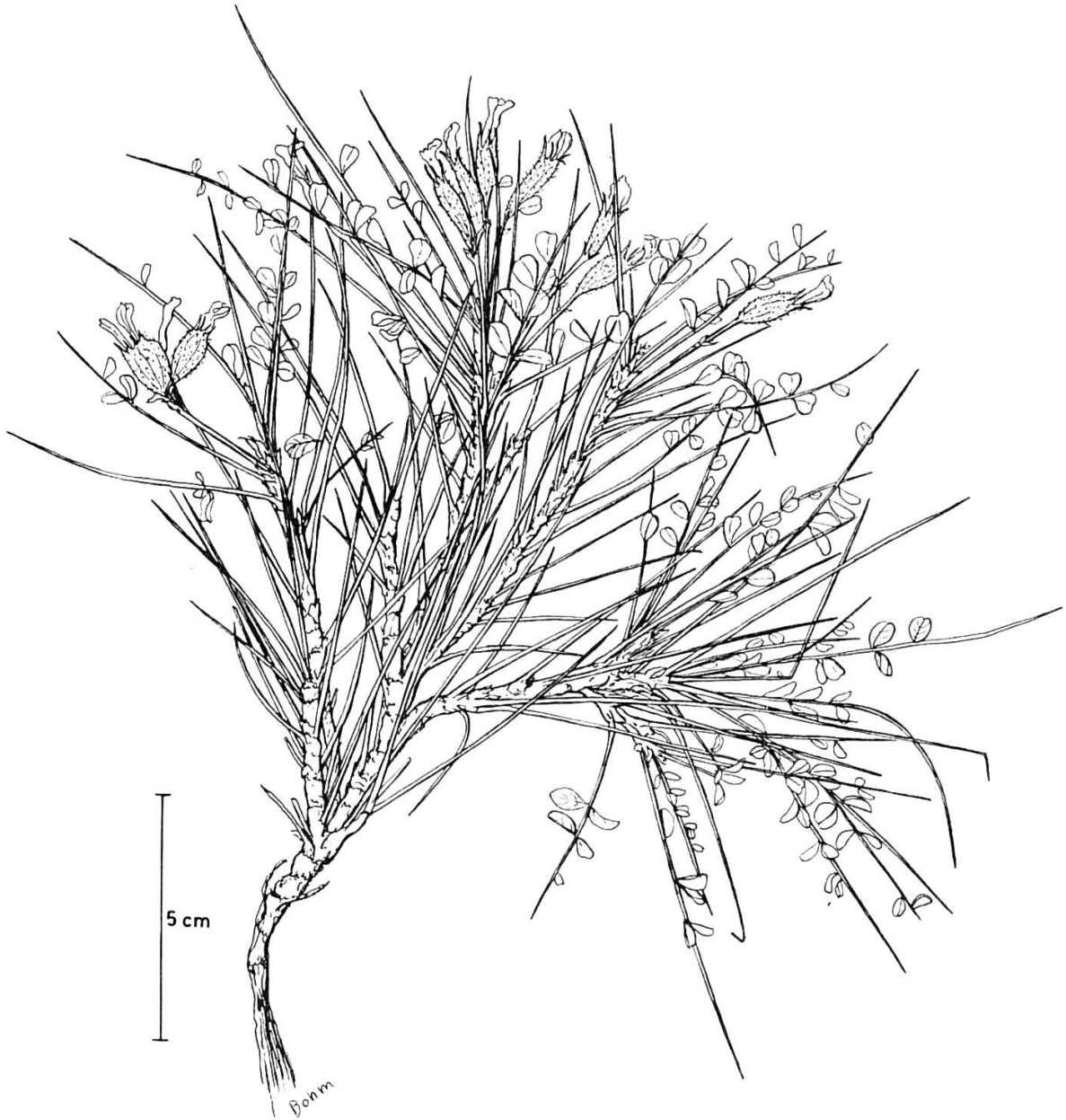


Fig. 240. — *A. lamondiae* Deml (Holotypus; Lamond 1062).

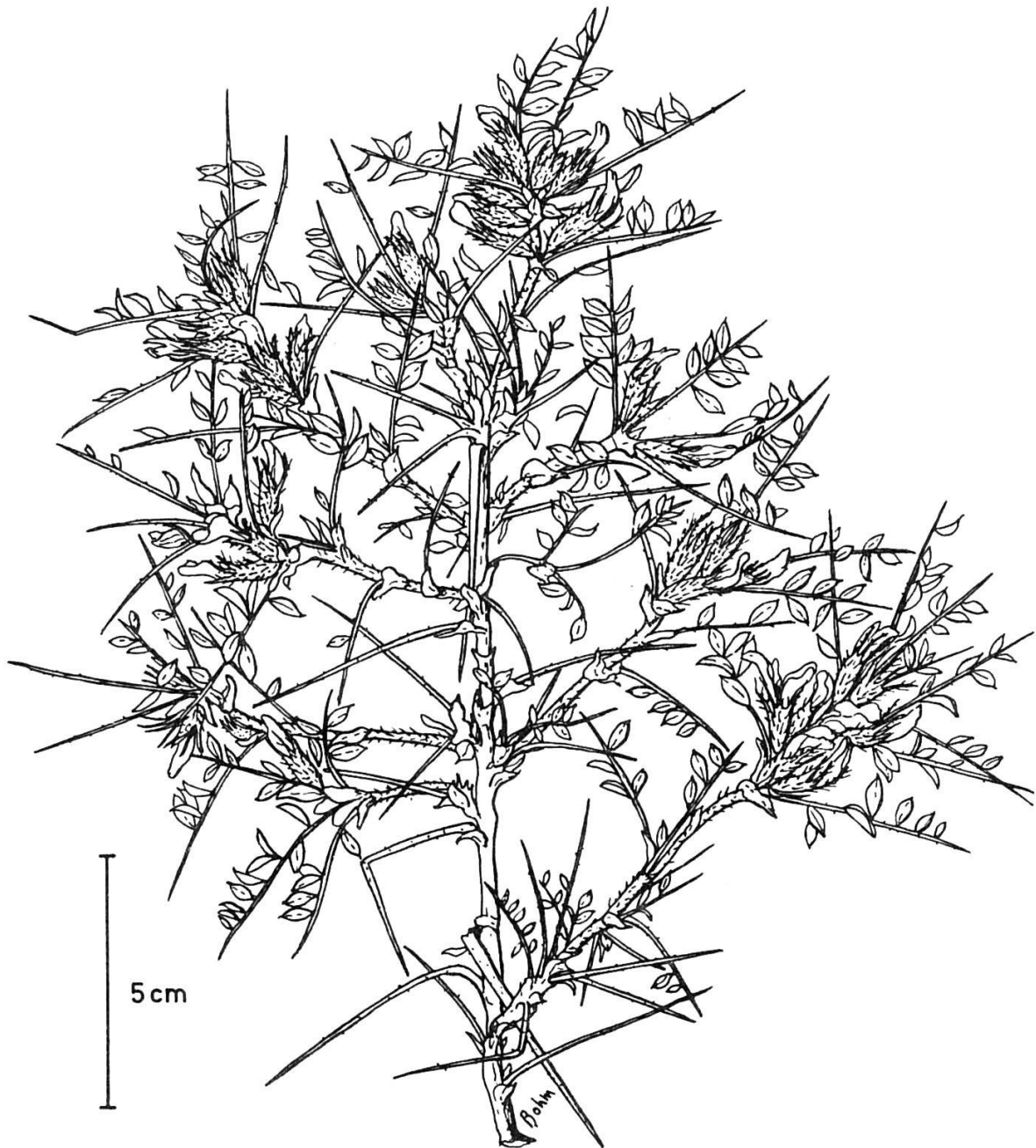


Fig. 241. — *A. nigrivestitus* Podl. & Deml (Podlech 11126).

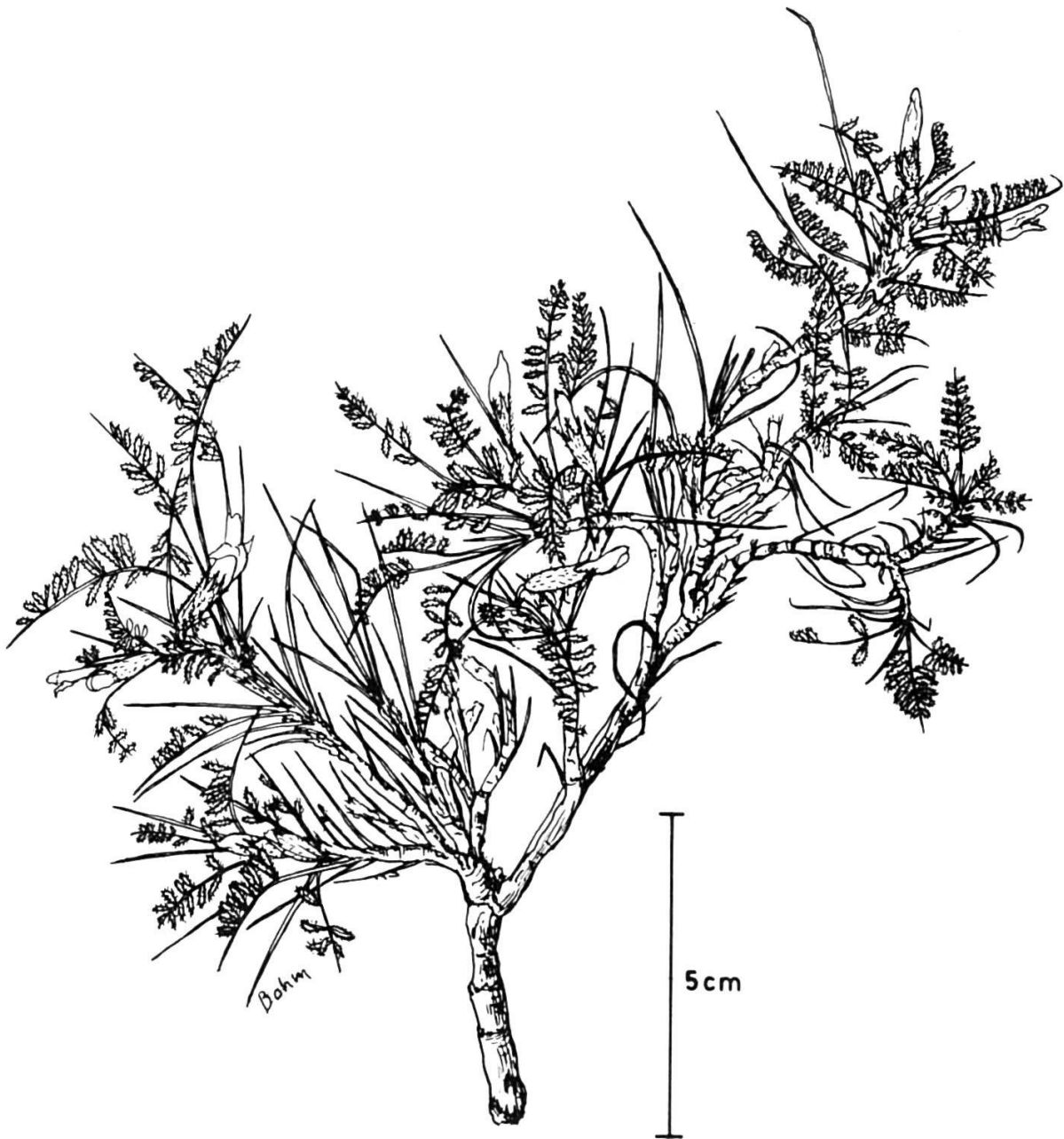


Fig. 242. — *A. parkeri* Deml (Holotypus; Rechinger 30844).

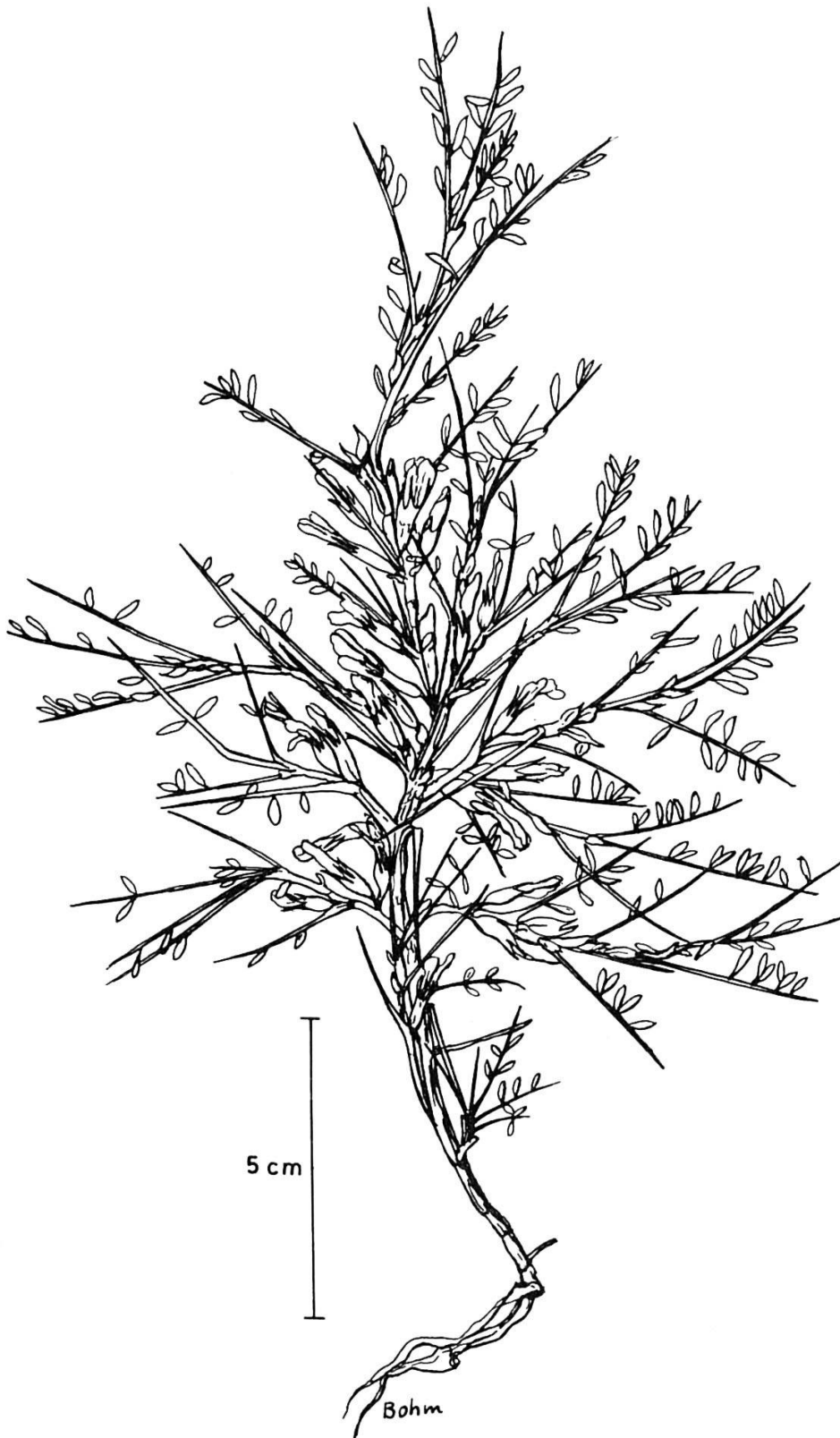


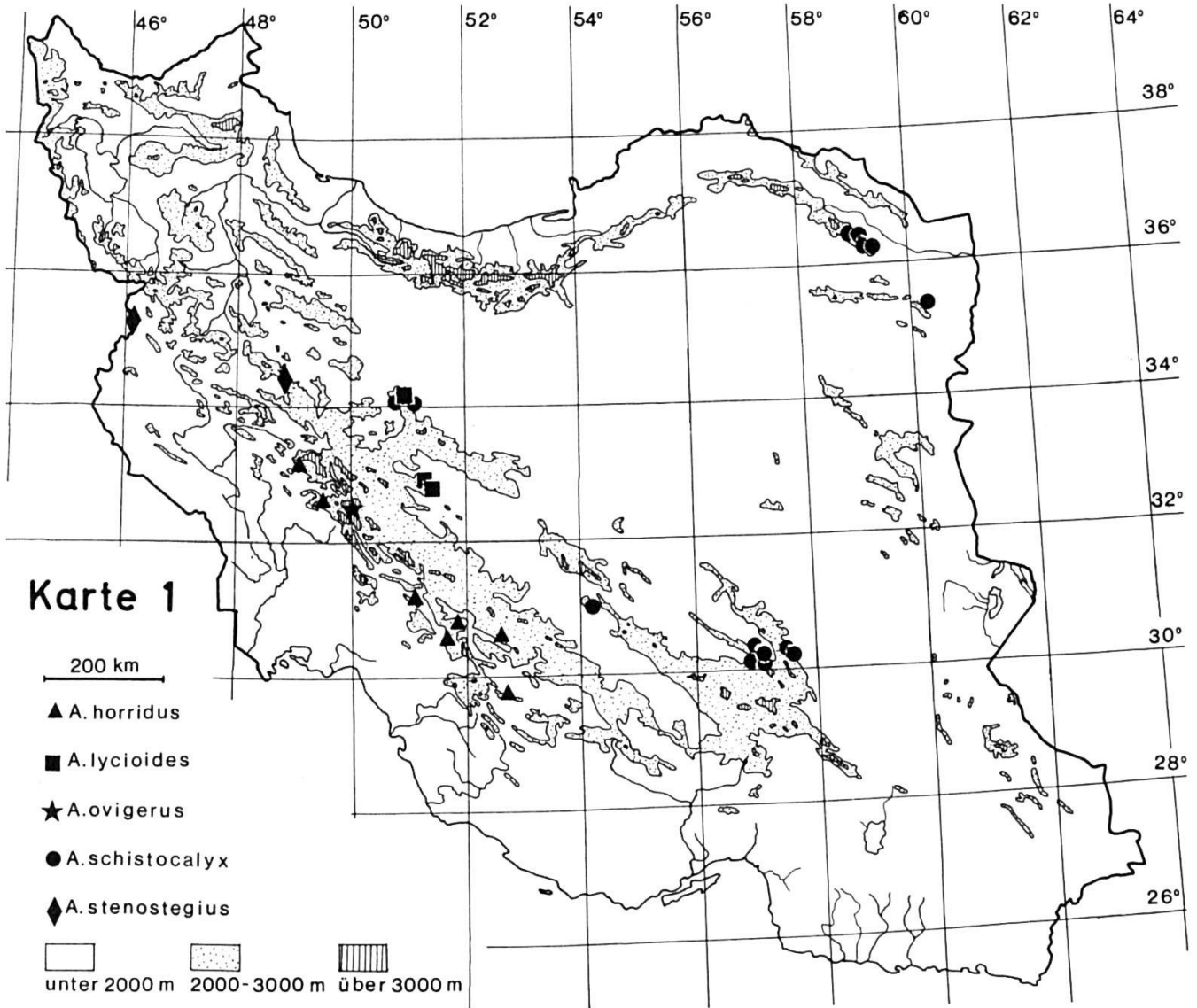
Fig. 243. — *A. phalacrophyton* Deml (Lamond 2181).

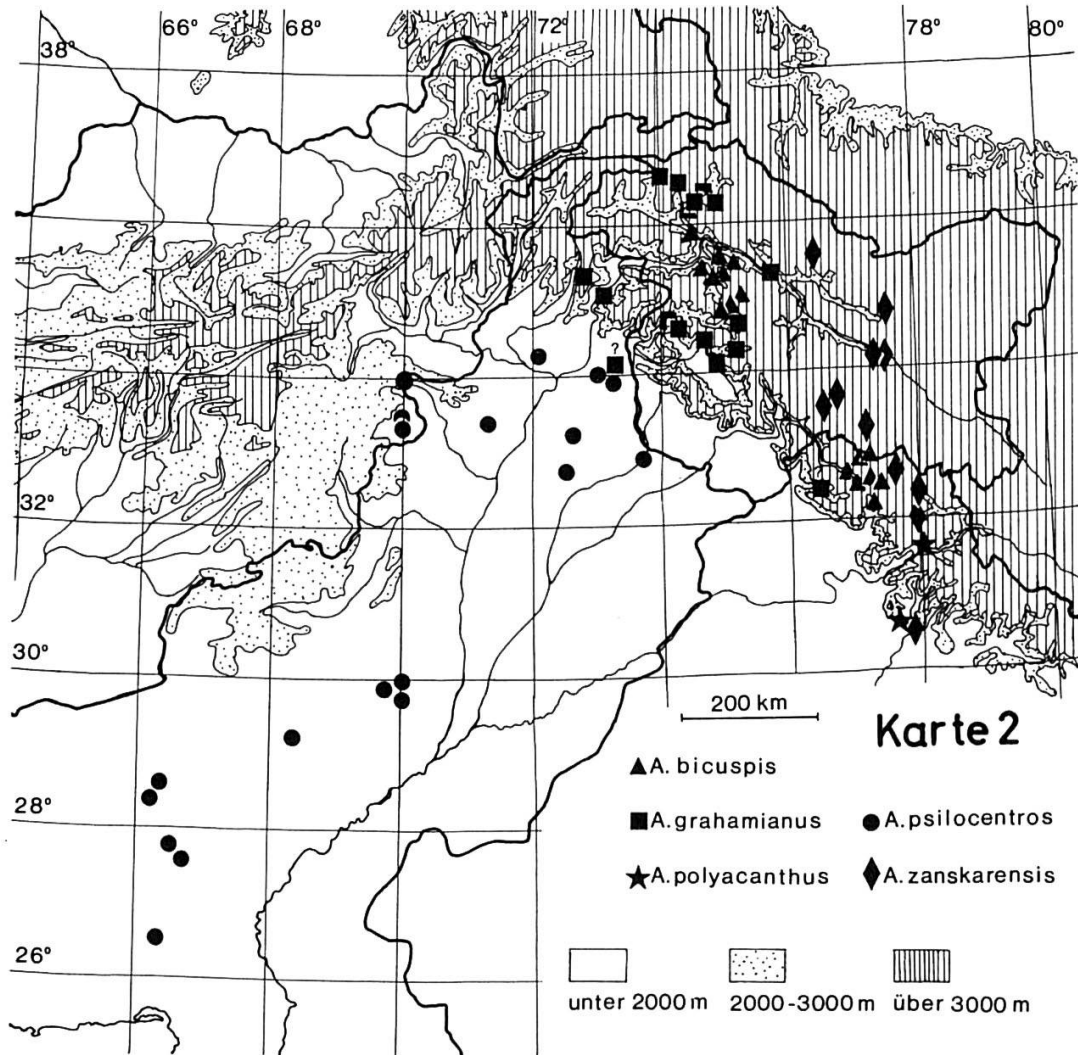


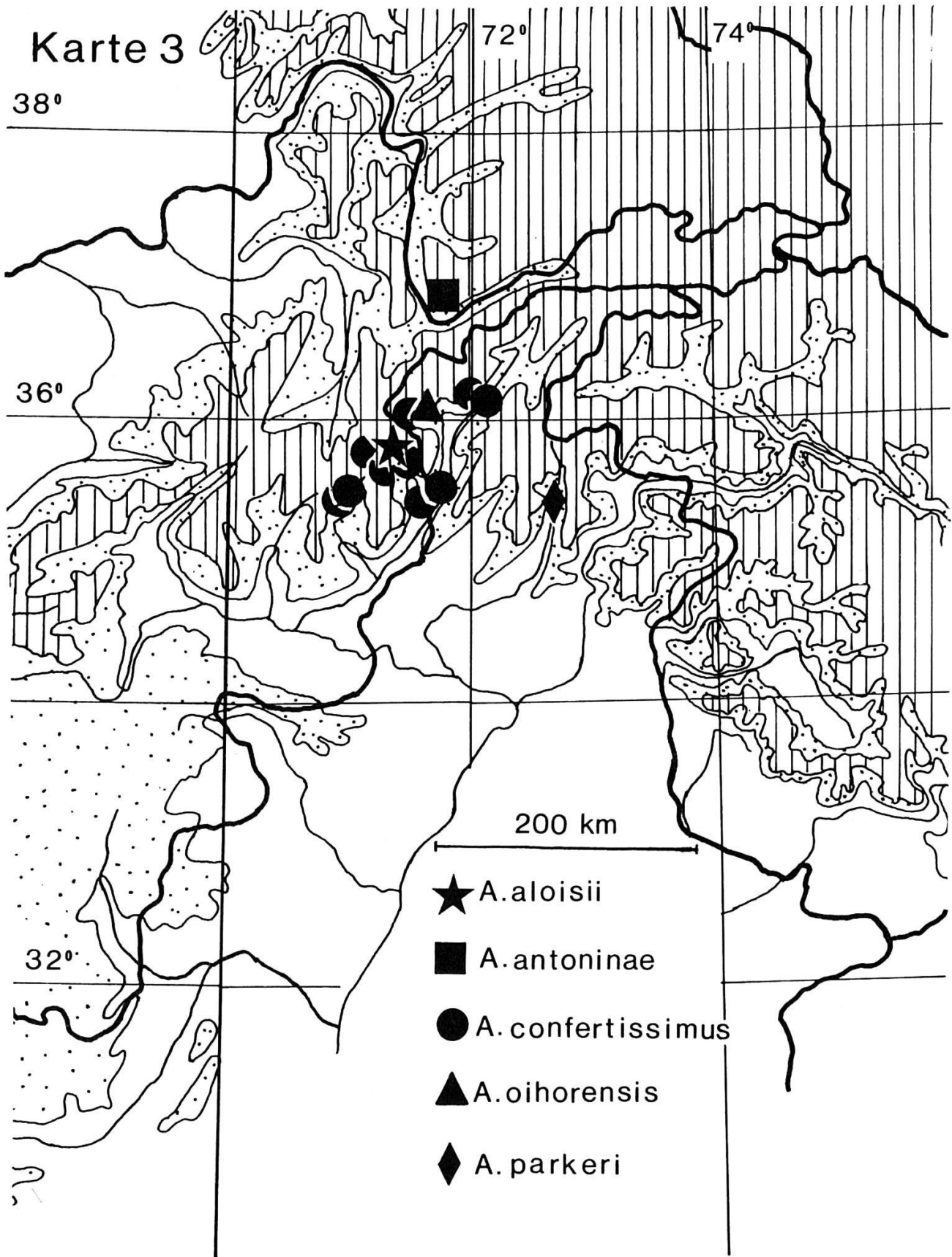
Fig. 244. — *A. podlechii* Deml (Holotypus; Podlech 12212).

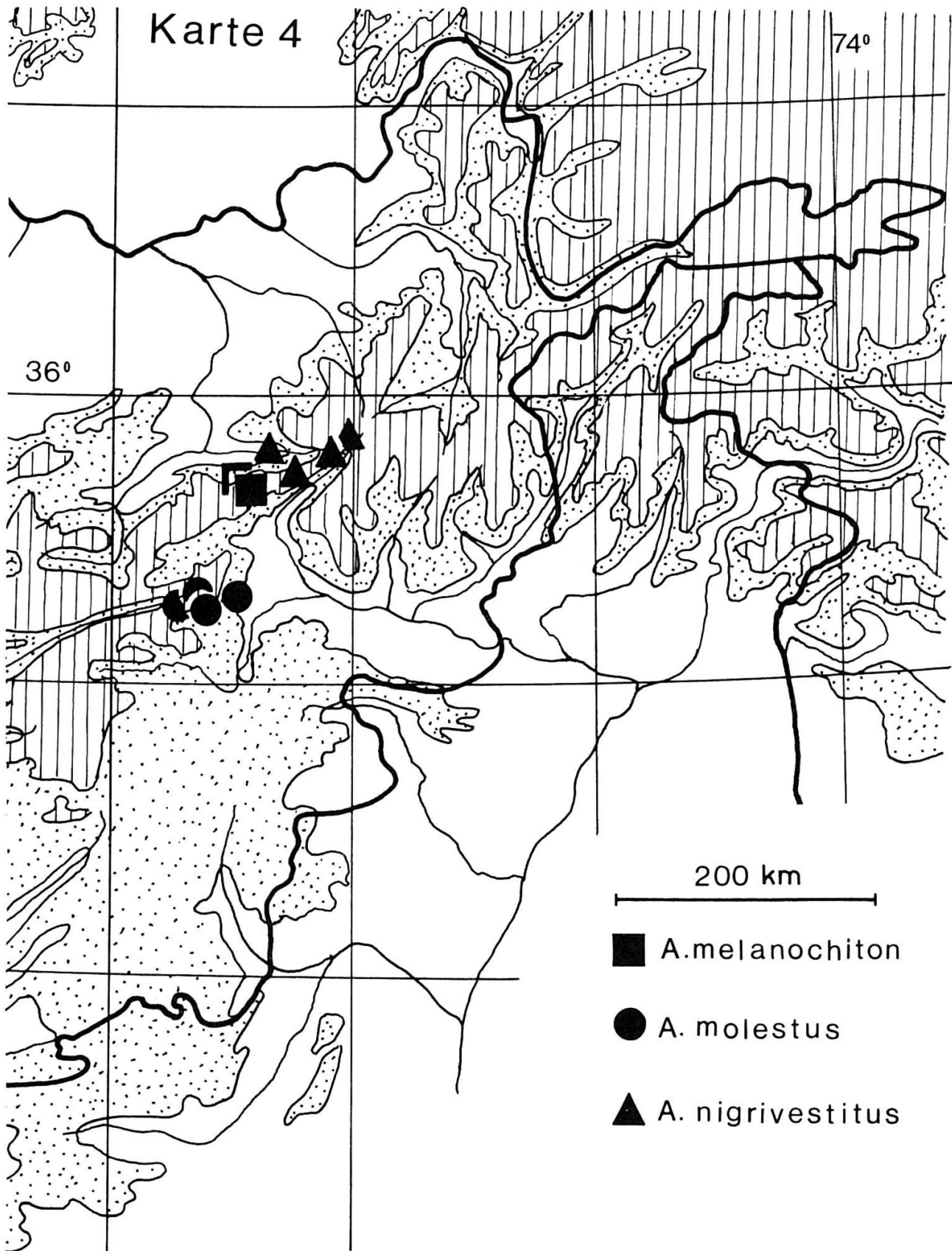


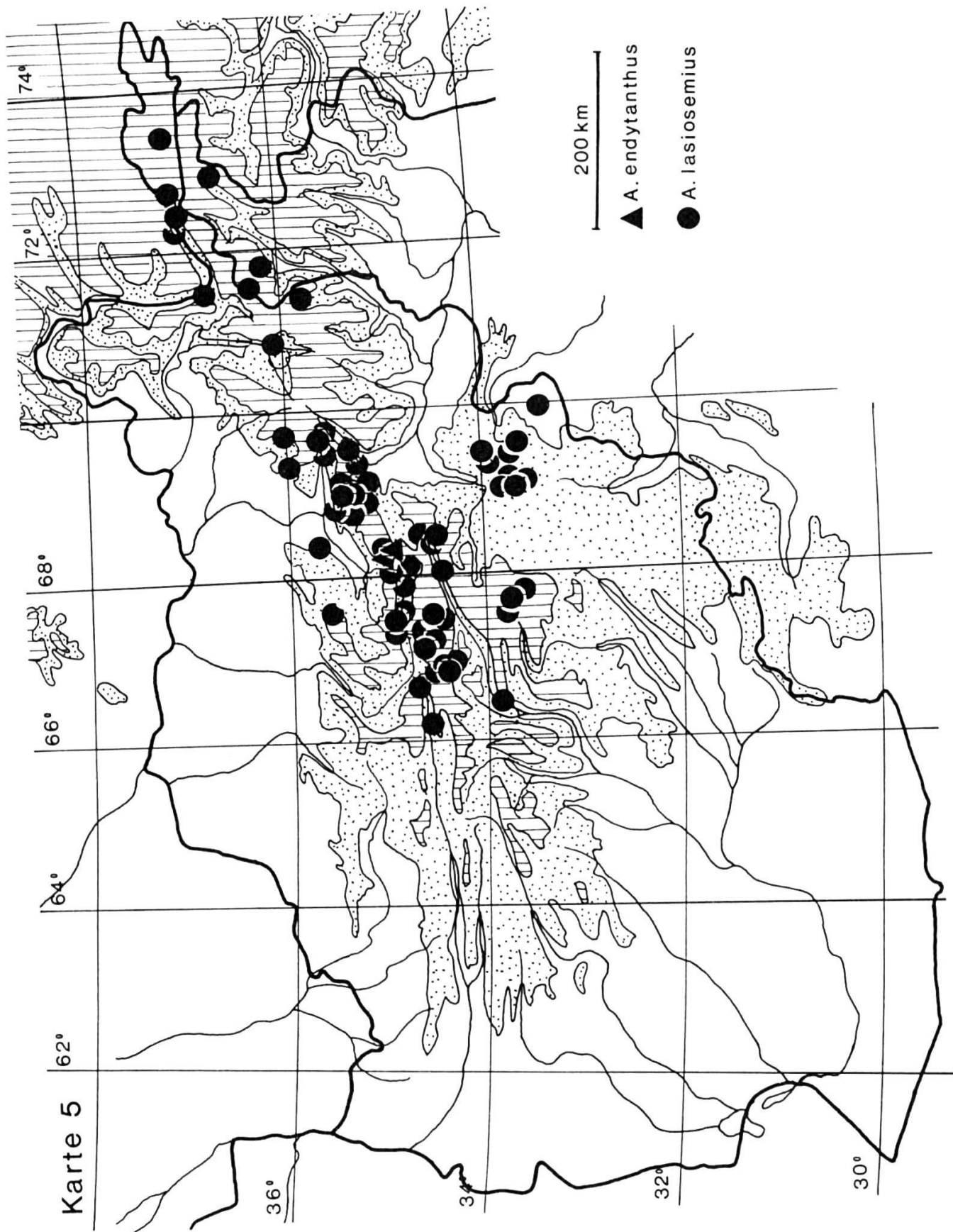
Fig. 245. — *A. wendelboi* Deml (Isotypus; Hedge & Wendelbo, Nr. W. 3404).



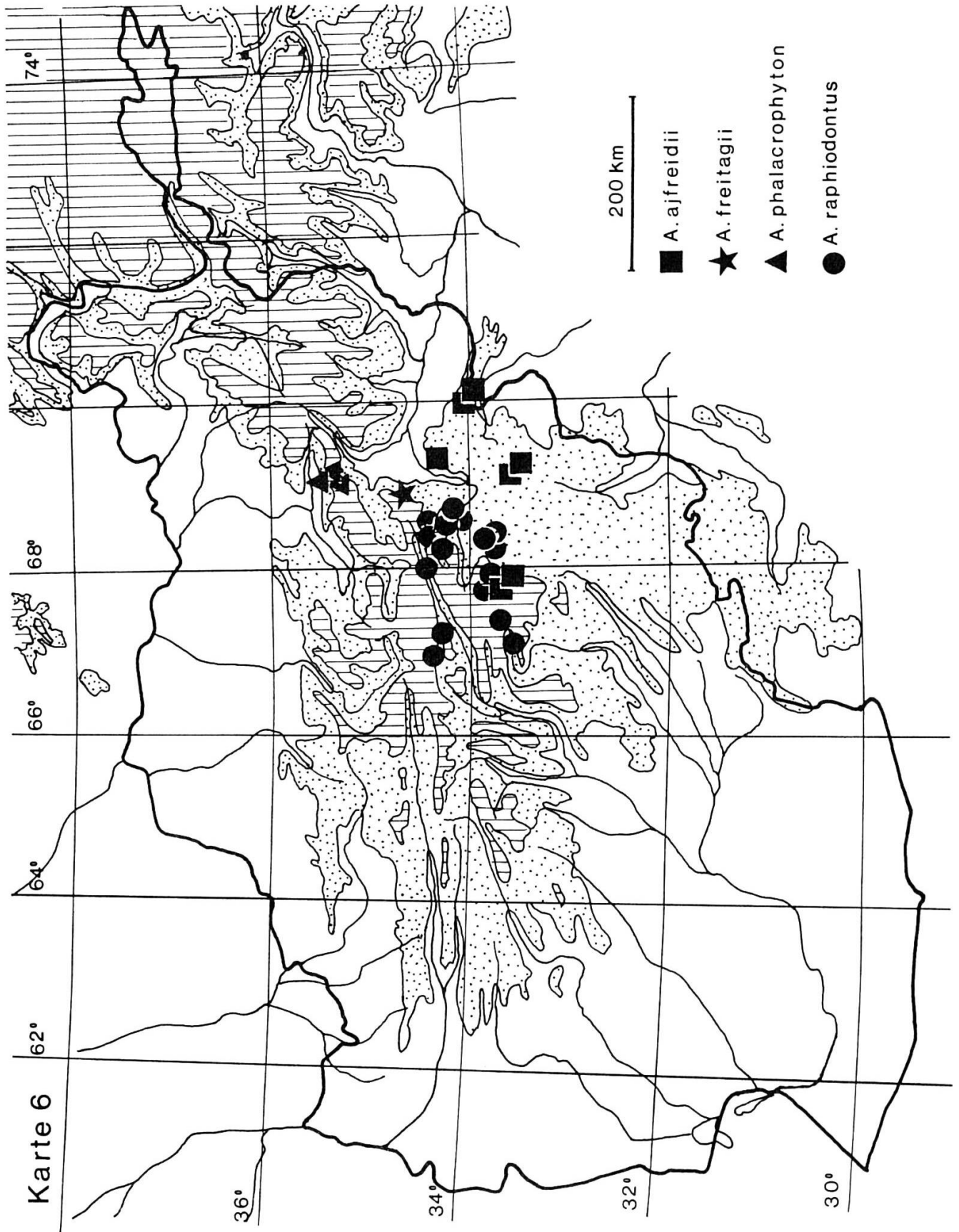


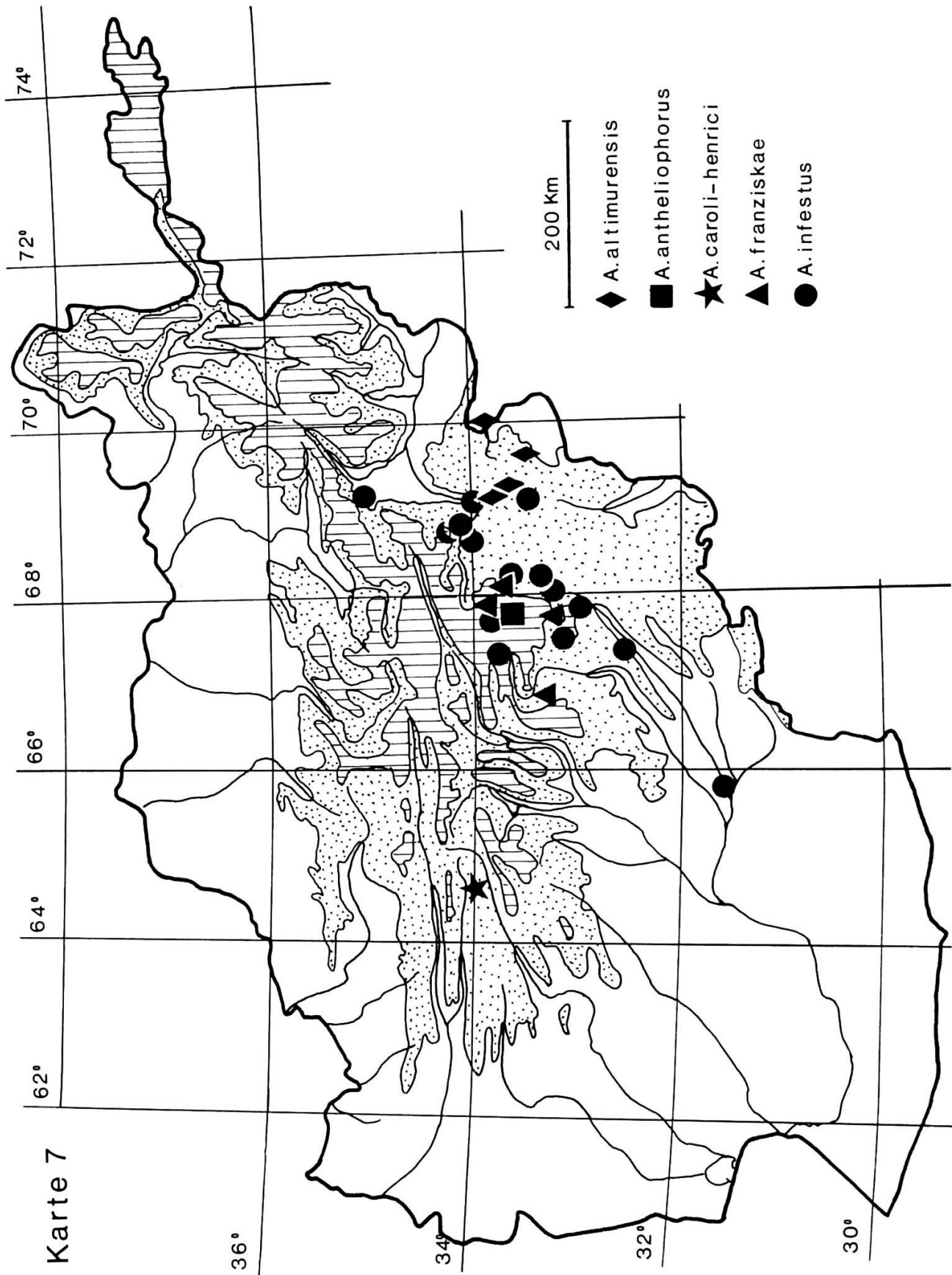




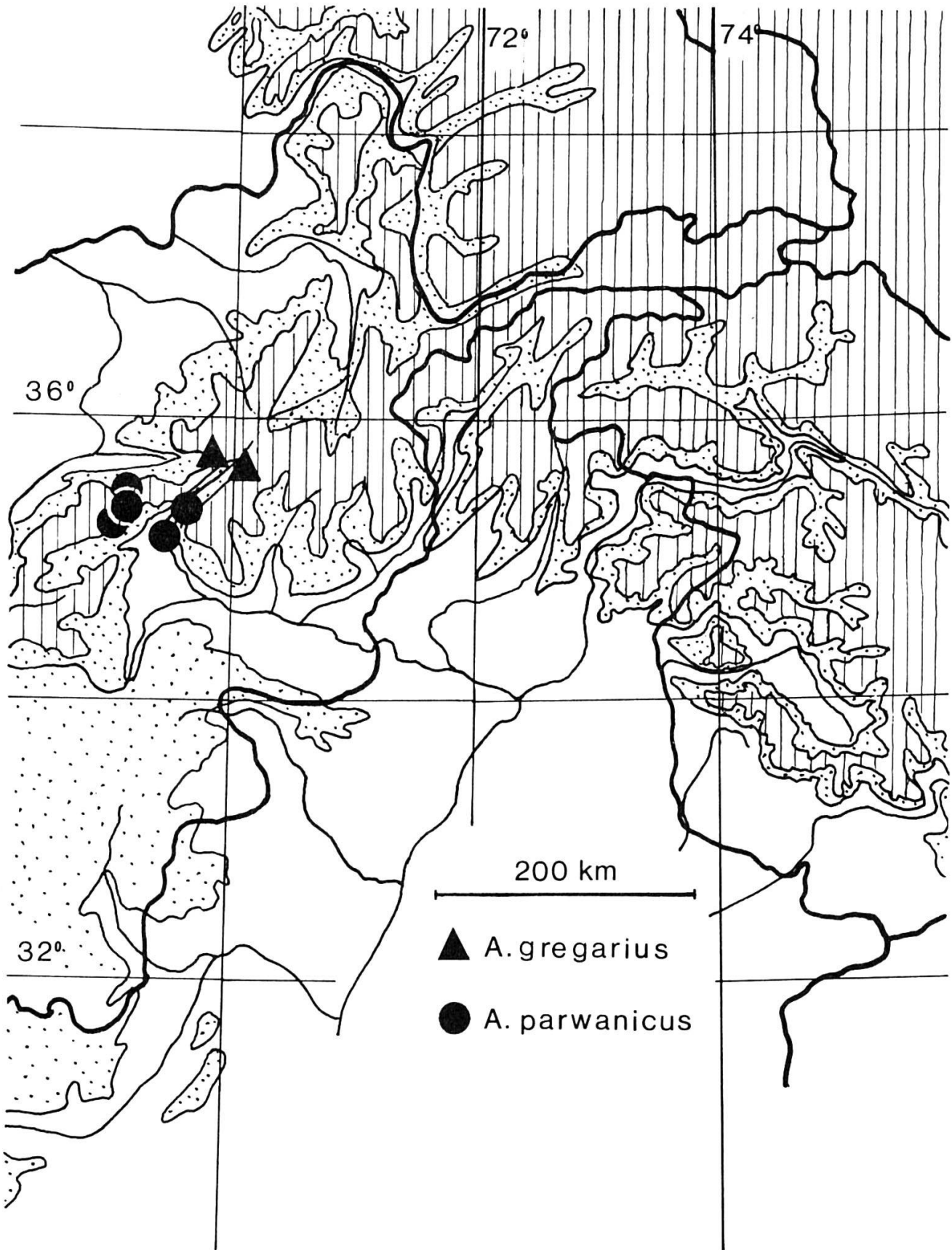


Karte 5





# Karte 8



# Karte 9

